

2.4 วิธีการ PCA เป็นการลดลอมข้อมูลดาวเทียมด้วยวิธีการทางสถิติ ภาพที่ได้จากการลดลอมข้อมูลจะมีรายละเอียดเท่ากับภาพดาวเทียมรายละเอียดสูงระบบ Panchromatic ที่นำมาลดลอมผลที่ได้มีดังนี้

2.4.1 ผลลัพธ์ที่ได้จากการลดลอมข้อมูลภาพดาวเทียมตั้งต้น คือภาพสีผสมของดาวเทียม Landsat-5 แบนด์ 4 แม่สีแดง, แบนด์ 5 แม่สีเขียว และแบนด์ 3 แม่สีน้ำเงิน กับภาพดาวเทียมรายละเอียดเชิงพื้นที่สูงกว่า ของดาวเทียม SPOT-5 ภาพที่ได้จากการลดลอมมีรายละเอียดเชิงพื้นที่ 2.5 เมตร ดังภาพที่ 4-44 ให้สีน้ำทะเลเป็นสีคำ ยกเว้นบริเวณน้ำที่มีตะกอน มีสีเทาและเทาอมน้ำตาล ป้าชายเลนบริเวณชายฝั่งมีสีน้ำตาล ภาพผลลัพธ์ที่ได้สามารถแยกเครื่องมือประมงประจำที่จากข้อมูลอื่น ๆ ได้ดีปานกลาง แสดงสีของตัวป้าเป็นสีขาว ขาวปนเทา แต่ไม่สามารถมองเห็นปีกป้าได้ สำหรับรายละเอียดคุณลักษณะทางเรขาคณิตที่ได้อยู่ในระดับปานกลาง มองเห็นตัวป้าเป็นปรากฏเป็นจุดเล็ก ๆ โดยผลกระทบจากการแปลความหมายของภาพสีผสมด้วยเทคนิคการแปลภาพด้วยสายตา ได้จำนวนของตัวป้าทั้งสิ้น 34 ถูก ดังภาพที่ 4-48 ข.

2.4.2 ผลลัพธ์ที่ได้จากการลดลอมข้อมูลภาพดาวเทียมตั้งต้น คือภาพสีผสมของดาวเทียม Landsat-5 แบนด์ 4 แม่สีแดง, แบนด์ 5 แม่สีเขียว และแบนด์ 3 แม่สีน้ำเงิน กับภาพดาวเทียมรายละเอียดเชิงพื้นที่สูงกว่า ของดาวเทียม Radarsat ภาพที่ได้จากการลดลอมมีรายละเอียดเชิงพื้นที่ 8 เมตร ดังภาพที่ 4-45 ให้สีน้ำทะเลเป็นสีคำปันเทา ยกเว้นบริเวณน้ำที่มีตะกอนมีสีคำอมฟ้า แปลงเดี่ยงหอยนางรมแบบแนวแปลงแปลงเดี่ยงหอยแมลงภู่ มีรูปทรงสี่เหลี่ยมปراกภูให้เห็นเป็นสีขาวและเทา ป้าชายเลนบริเวณชายฝั่งมีสีน้ำตาลอ่อน ภาพผลลัพธ์ที่ได้สามารถแยกเครื่องมือประมงประจำที่จากข้อมูลอื่น ๆ ได้ดี แสดงสีของตัวป้าเป็นสีเทา สำหรับรายละเอียดคุณลักษณะทางเรขาคณิตที่ได้อยู่ในระดับค่อนข้างมาก มองเห็นตัวป้าเป็นทรงรีและเห็นปีกป้าเป็นเส้นตรงมากกว่า 1 เส้น ลักษณะคล้ายรอยเท้าไก่ ยื่นออกจากตัวป้าไปยังปากแม่น้ำบางปะกงโดยผลกระทบจากการแปลความหมายของภาพสีผสมด้วยเทคนิคการแปลภาพด้วยสายตา ได้จำนวนของตัวป้าทั้งสิ้น 47 ถูก นับจำนวนปีกป้าได้ทั้งสิ้น 172 แนว ดังภาพที่ 4-49 ข.



ภาพที่ 4-44 การหลอมข้อมูลดาวเที่ยม SPOT-5 Panchromatic และดาวเที่ยม Landsat-5 แบนด์ 4-5-3 โดยใช้วิธี PCA (Principal Component Analysis) รายละเอียดเชิงพื้นที่ 2.5 เมตร



ภาพที่ 4-45 การหลอมข้อมูลดาวเที่ยม Radarsat (SAR) และดาวเที่ยม Landsat-5 แบนด์ 4-5-3 โดยใช้วิธี PCA (Principal Component Analysis) รายละเอียดเชิงพื้นที่ 8 เมตร

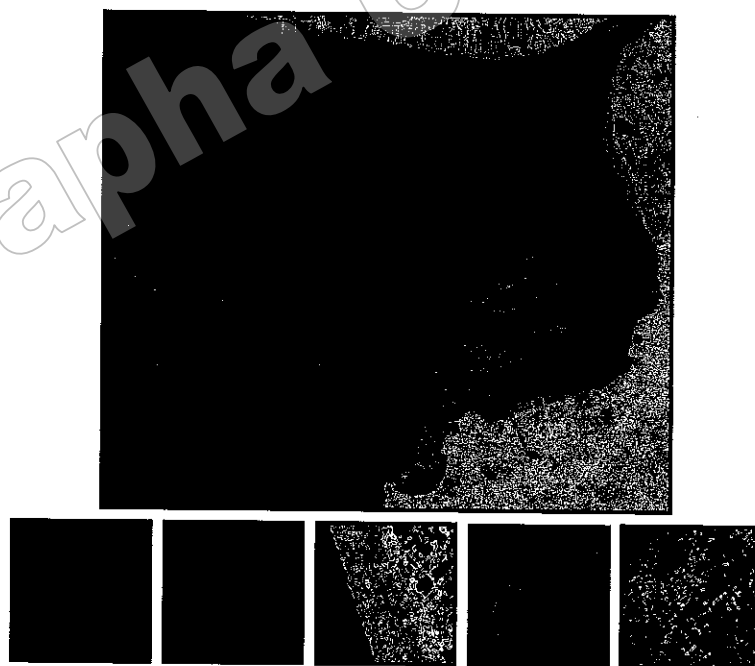
2.5 วิธีการ HPF เป็นการหลอมข้อมูลภาพเที่ยมโดยใช้เทคนิค HSI ร่วมกับการใช้ตัวกรองความถี่สูงแบบเน้นขอบ (Edge Enhancement) ภาพที่ได้จากการหลอมข้อมูลจะมีรายละเอียดเท่ากับภาพดาวเที่ยมรายละเอียดสูงระบบ Panchromatic ที่นำมาหลอม ผลที่ได้มีดังนี้

2.5.1 ผลลัพธ์ที่ได้จากการหลอมข้อมูลภาพดาวเที่ยมตั้งต้น คือภาพสีผสมของดาวเที่ยม Landsat-5 แบนด์ 4 แม่สีแดง, แบนด์ 5 แม่สีเขียว และแบนด์ 3 แม่สีน้ำเงิน กับภาพดาวเที่ยมรายละเอียดเชิงพื้นที่สูงกว่า ของดาวเที่ยม SPOT-5 ที่ผ่านกระบวนการกรองข้อมูลภาพด้วยการใช้ตัวกรองความถี่สูงแบบเน้นขอบ (Edge Enhancement) ภาพที่ได้จากการหลอมมีรายละเอียดเชิงพื้นที่ 2.5 เมตร ดังภาพที่ 4-46 ให้สีน้ำทะเลเป็นสีคำ ป่าชายเลนบริเวณชายฝั่งมีสีน้ำตาลเข้ม ภาพผลลัพธ์ที่ได้สามารถแยกเครื่องมือประมงประจำที่จากข้อมูลอื่น ๆ ได้ค่อนกลาง แสดงสีของตัวไปเป็นหลายสีผสมกัน ได้แก่ ขาว ม่วง น้ำเงิน และชมพู แต่ไม่สามารถมองเห็นปีกไปเป็นสำหรับรายละเอียดลักษณะทางเรขาคณิตที่ได้อยู่ในระดับปานกลาง มองเห็นตัวไปเป็นปรากฏเป็นจุดเล็ก ๆ โดยเฉพาะจากการแปลความหมายของภาพสีผสมด้วยเทคนิคการแปลภาพด้วยสายตา ได้จำนวนของตัวไปทั้งสิ้น 36 ลูก ดังภาพที่ 4-48 ฯ.

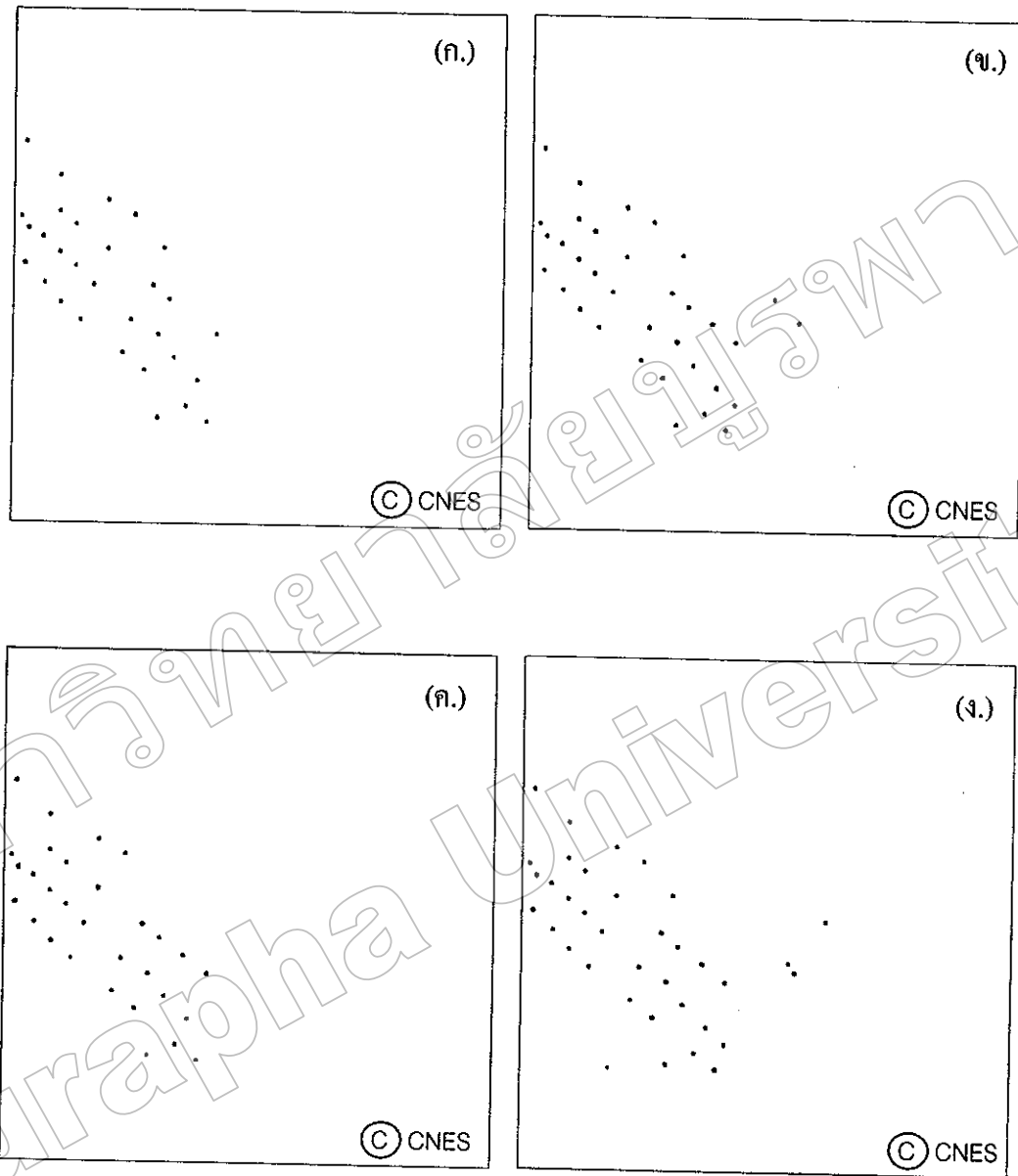
2.5.2 ผลลัพธ์ที่ได้จากการหลอมข้อมูลภาพดาวเที่ยมตั้งต้น คือภาพสีผสมของดาวเที่ยม Landsat-5 แบนด์ 4 แม่สีแดง, แบนด์ 5 แม่สีเขียว และแบนด์ 3 แม่สีน้ำเงิน กับภาพดาวเที่ยมรายละเอียดเชิงพื้นที่สูงกว่า ของดาวเที่ยม Radarsat ที่ผ่านกระบวนการกรองข้อมูลภาพด้วยการใช้ตัวกรองความถี่สูงแบบเน้นขอบ (Edge Enhancement) ภาพที่ได้จากการหลอมมีรายละเอียดเชิงพื้นที่ 8 เมตร ดังภาพที่ 4-47 ให้สีน้ำทะเลเป็นสีคำอมเหลือง ยกเว้นบริเวณน้ำที่มีตะกอนมีสีคำอมฟ้า แปลงเดียงหอยนางรมแบบخلف แปลงเดียงหอยแมลงภู่ มีรูปทรงสี่เหลี่ยม平行四边形เป็นสีฟ้าและฟ้าอมม่วง ป่าชายเลนบริเวณชายฝั่งมีสีน้ำตาล ภาพผลลัพธ์ที่ได้สามารถแยกเครื่องมือประมงประจำที่จากข้อมูลอื่น ๆ ได้ดี แสดงสีของตัวไปและปีกไปเป็นสีฟ้าและฟ้าอมม่วง สำหรับรายละเอียดคุณลักษณะทางเรขาคณิตที่ได้อยู่ในระดับดี มองเห็นตัวไปเป็นทรงรีและเห็นปีกไปเป็นเส้นตรงมากกว่า 1 เส้น ลักษณะคล้ายรอยเท้าไก่ ยื่นออกจากตัวไปข้างปากแม่น้ำบางปะกง โดยเฉพาะจากการแปลความหมายของภาพสีผสมด้วยเทคนิคการแปลภาพด้วยสายตา ได้จำนวนของตัวไปทั้งสิ้น 44 ลูก นับจำนวนปีกไปได้ทั้งสิ้น 155 แนว ดังภาพที่ 4-49 ฯ.



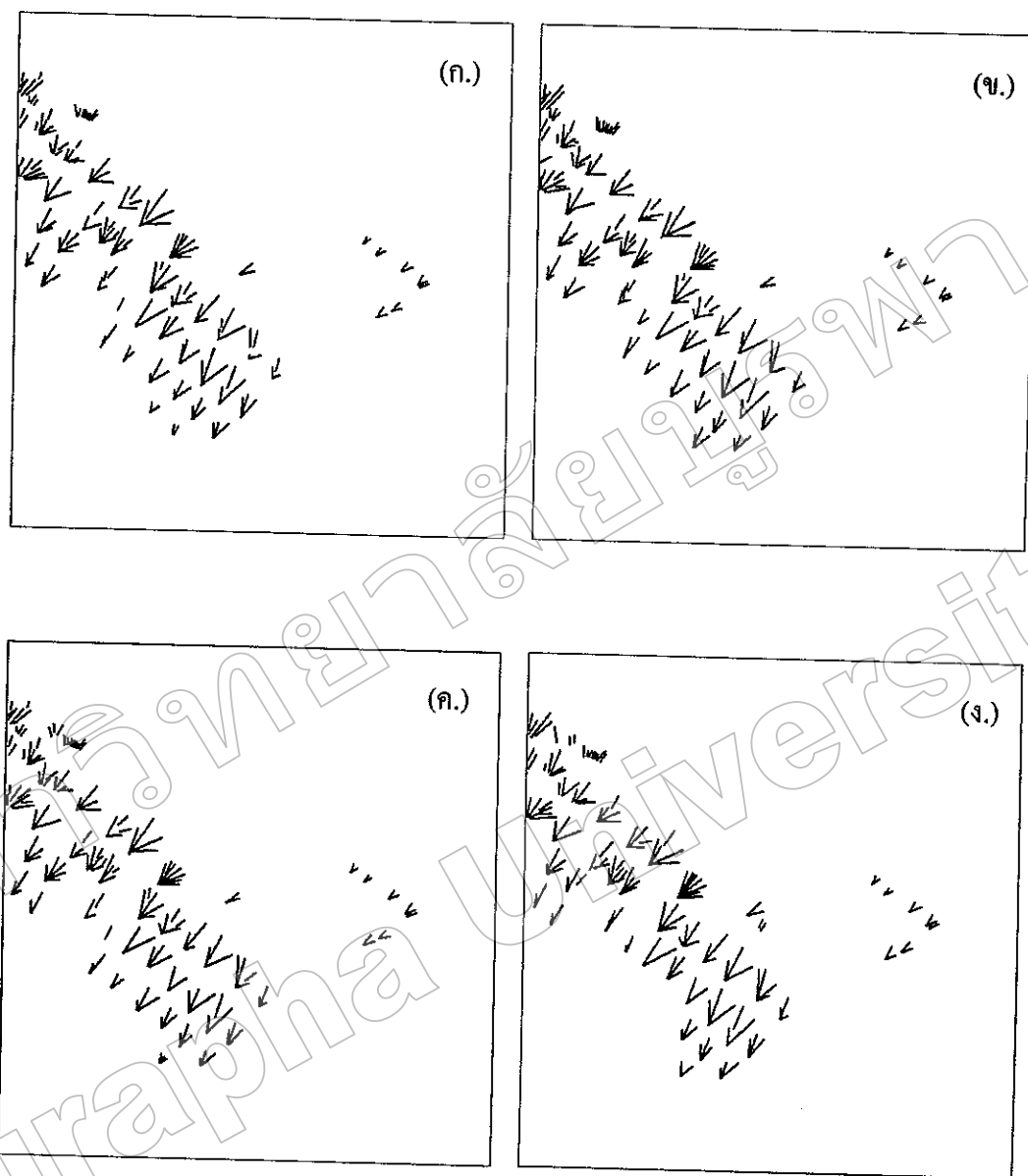
ภาพที่ 4-46 การหลอมข้อมูลดาวเทียม SPOT-5 Panchromatic และดาวเทียม Landsat-5 แบบด้วยใช้วิธี HPF (High Pass Filter) รายละเอียดเชิงพื้นที่ 2.5 เมตร



ภาพที่ 4-47 การหลอมข้อมูลดาวเทียม Radarsat (SAR) และดาวเทียม Landsat-5 แบบด้วยใช้วิธี HPF (High Pass Filter) รายละเอียดเชิงพื้นที่ 8 เมตร



ภาพที่ 4-48 แสดงปริมาณไวป์ ที่ได้จากการนำเข้าข้อมูลบนหน้าจอของข้อมูลที่ได้จากการหลอม
ข้อมูล SPOT-5 ระบบ Panchromatic กับข้อมูล Landsat-5 (TM) ด้วยวิธีการต่าง ๆ
(ก. วิธีการ Brovey Transformation ข. วิธีการ PCA (Principal Component Analysis)
ค. วิธีการ HSI Color Transformation ง. วิธีการ HPF (High Pass Filter))



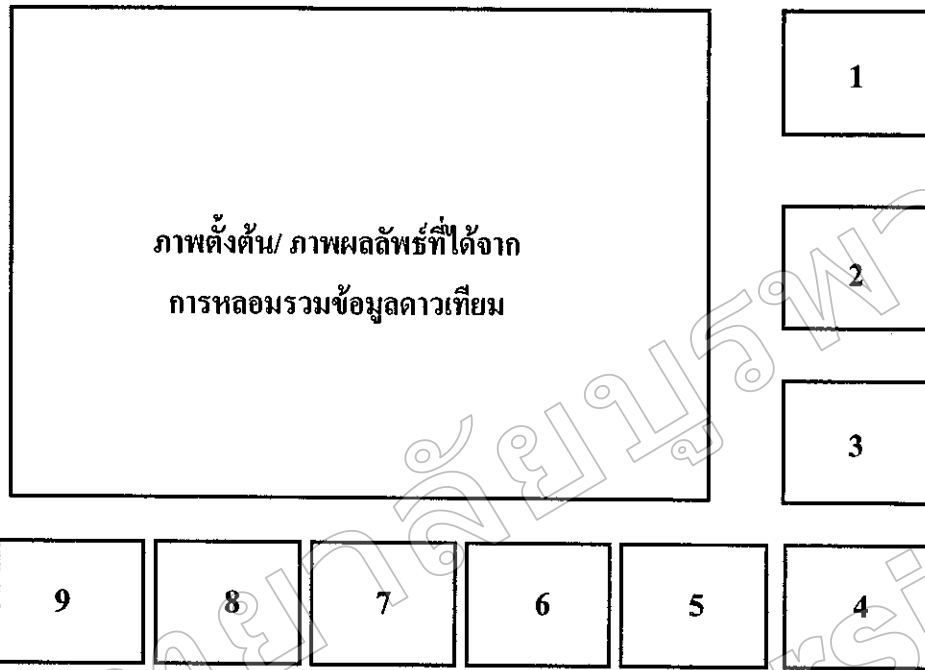
ภาพที่ 4-49 แสดงปริมาณป่าที่ได้จากการนำเข้าข้อมูลบนหน้าจอของข้อมูลที่ได้จากการลดลงข้อมูล Radarsat ระบบ SAR กับข้อมูล Landsat-5 (TM) ด้วยวิธีการต่าง ๆ (ก. วิธีการ Brovey Transformation ง. วิธีการ PCA (Principal Component Analysis) ค. วิธีการ HSI Color Transformation จ. วิธีการ HPF (High Pass Filter))

3. พื้นที่ศึกษาที่ 3 บริเวณอ่างเก็บน้ำบางพระ ครอบคลุมพื้นที่บางส่วนของอำเภอเมือง และอำเภอศรีราชา จังหวัดชลบุรี มีพื้นที่ทั้งสิ้น 318 ตารางกิโลเมตร สำหรับเกณฑ์ที่ใช้ในการอธิบายลักษณะของข้อมูลแต่ละประเภท พบว่า สำหรับข้อมูลเส้นทางคมนาคมสายหลักในพื้นที่

ผู้ศึกษาเลือกสอนสุขุมวิท บริเวณสามแยกทางลงหาดบางแสน ซึ่งเป็นถนนขนาด 6 ช่องทางจราจร เป็นพื้นที่ตัวอย่างในการเปรียบเทียบ เส้นทางสายรอง ผู้ศึกษาเลือกเส้นทางสายรองกว้าง หน่องมน จางเก็บน้ำบางพระ สวนสัตว์ปีกเขาเขียวซึ่งเป็นถนนขนาด 2 ช่องทางจราจรเป็นพื้นที่ตัวอย่างในการเปรียบเทียบ สำหรับถนนพื้นอ่อนผู้ศึกษาเลือกเส้นทางเข้าสู่บริเวณเหมือนระเบิดหิน ซึ่งอยู่บริเวณด้านหลังของที่ทำการองค์การบริหารส่วนตำบลเหมือง ซึ่งเป็นถนนคันขนาด 2 ช่องทาง จราจร สำหรับรถบรรทุกใช้ในการลำเลียงหินออกจากเหมือง เป็นพื้นที่ตัวอย่างในการเปรียบเทียบ และพื้นที่ที่เป็นแหล่งชุมชน ผู้ศึกษาเลือกบริเวณตัวเมืองศรีราชาเป็นพื้นที่ตัวอย่างในการเปรียบเทียบ เนื่องจากเป็นพื้นที่ชุมชนหนาแน่นขนาดใหญ่ที่สุดในพื้นที่ศึกษา สำหรับข้อมูลพื้นที่ที่ใช้สำหรับทำการวิเคราะห์เปรียบเทียบความแตกต่างเชิงคุณภาพของพื้นที่ศึกษาที่ 2 นี้ แสดงในภาพที่ 4-50 ผลการศึกษาที่ได้จากการหลอมสภาพดาวเทียมมีดังนี้

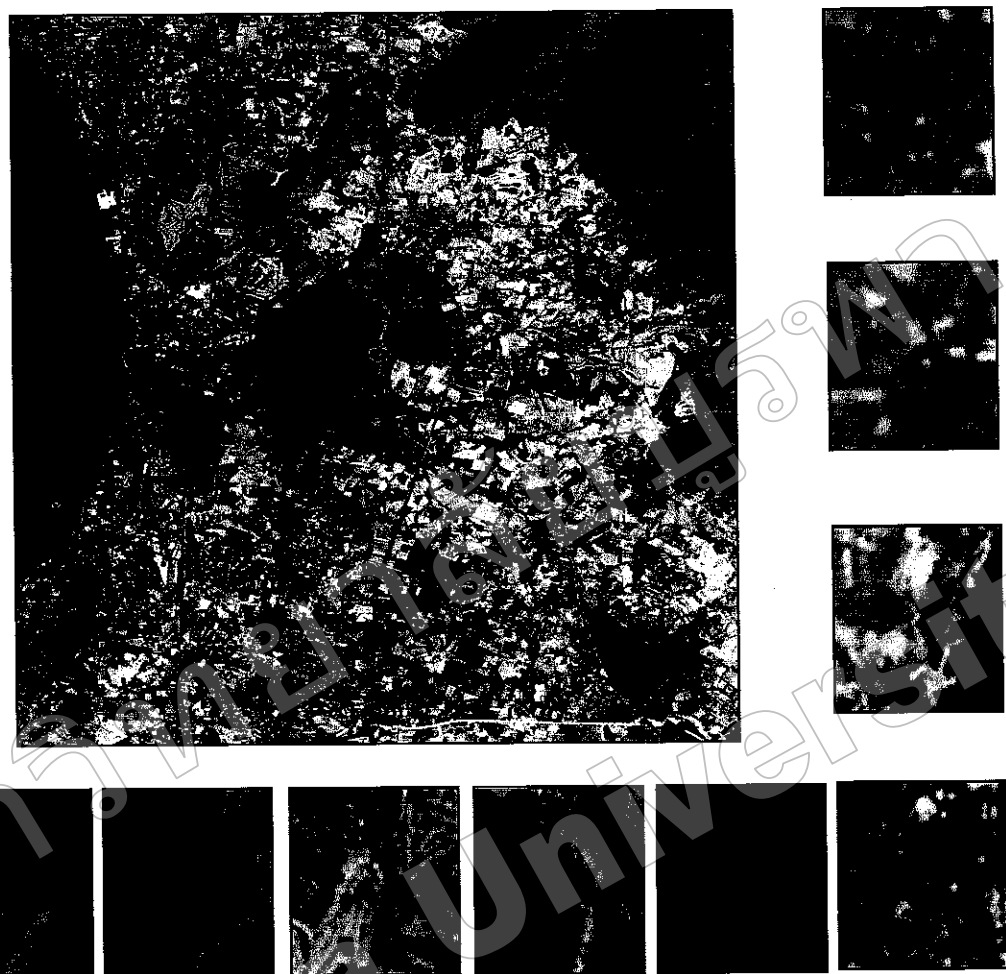
3.1 วิธีการ RGB Color Composite เป็นการทำให้เกิดภาพสีผสม ด้วยการนำข้อมูลครั้งละ 3 ช่วงคลื่น (แบนด์) จากความเที่ยม Landsat-5 แบนด์ 4, แบนด์ 5 และแบนด์ 3 มาแทนในแม่สีหลัก 3 สี คือ สีแดง, สีเขียว และสีน้ำเงินตามลำดับ ดังภาพที่ 4-51 ภาพที่ได้มีรายละเอียดภาพ 25 เมตร ภาพสีผสม ให้สีพื้นที่สามารถก่อตัวเป็นสีตัว พื้นที่ป่าไม้เป็นสีแดงถึงน้ำตาลแดง ยกเว้นบริเวณที่ผลัดใบให้สีม่วง และม่วงอมเขียว แหล่งน้ำเป็นสีดำ ส่วนบริเวณที่มีตะกอนให้สีม่วง omn น้ำเงิน พื้นที่ชุมชนหนาแน่นมีสีขาวและม่วง ภาพผลลัพธ์ที่ได้สามารถแยกเส้นทางคมนาคม ขนาดใหญ่ได้ดี โดยจะปรากฏเป็นเส้นสีเทาอมม่วง เส้นทางคมนาคมสายรอง สามารถแยกได้ ปานกลาง มองเห็นเป็นเส้นสีม่วง สำหรับถนนคันอ่อน สามารถแยกได้ปานกลางมองเห็นเป็นสีขาว ภาพสีผสมที่ได้ทำให้คุณลักษณะทางเรขาคณิตของเส้นทางคมนาคมขนาดใหญ่ได้ดี เส้นทางคมนาคมสายรองได้ปานกลาง โดยเห็นเฉพาะบริเวณอกเขตชุมชน สำหรับถนนคันอ่อนไม่คด ผลที่ได้จากการแปลความหมายของภาพสีผสมด้วยเทคนิคการแปลภาพด้วยสายตา ได้ความขาวของเส้นทางคมนาคมในพื้นที่ศึกษาร่วมทั้งสิ้น 166.24 กิโลเมตร ดังภาพที่ 4-67 ค.

3.2 วิธีการ Brovey Transformation เป็นการหลอมข้อมูล ระหว่างภาพสีผสมจากดาวเทียม Landsat-5 แบบค์ 4, 5 และ 3 กับข้อมูลรายละเอียดสูงระบบ Panchromatic เก้าด้วยกัน ภาพที่ได้จากการหลอมข้อมูลมีรายละเอียดเชิงพื้นที่เท่ากับข้อมูลรายละเอียดสูงระบบ Panchromatic ที่นำมาใช้ในการหลอม ผลที่ได้มีดังนี้



- หมายเหตุ:
1. ถนนสายหลักขนาด 6-8 ช่องทางวิ่ง
 2. ถนนสายรองขนาด 2 ช่องทางวิ่ง
 3. ถนนพื้นอ่อน
 4. พื้นที่ชุมชนหนาแน่น
 5. บริเวณน้ำໄ熙
 6. บริเวณน้ำมีตะกอน
 7. ถนนก่อดิน
 8. บริเวณป่าไม่ผลัดใบ
 9. บริเวณป่าผลัดใบ

ภาพที่ 4-50 คำอธิบายสัญลักษณ์ของภาพ สำหรับพื้นที่ศึกษาที่ 3 บริเวณอ่างเก็บน้ำบางพระ



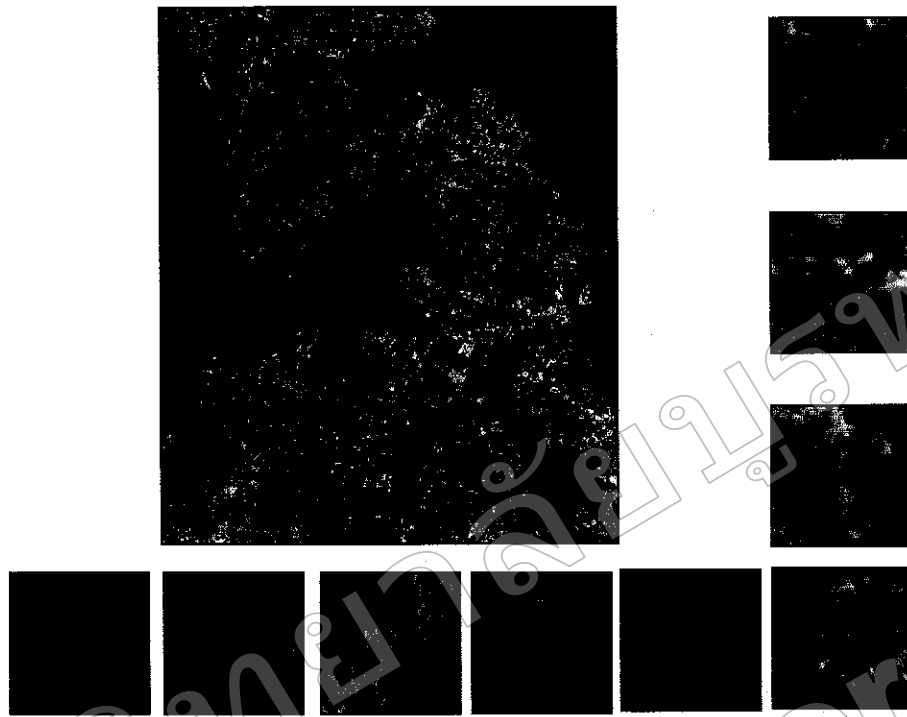
ภาพที่ 4-51 ภาพสีพสมดาวเทียม Landsat-5 แบบด' 4-5-3 รายละเอียด เจริญพื้นที่ 25 เมตร

3.2.1 ผลลัพธ์ที่ได้จากการทดลองข้อมูลภาพดาวเทียมตั้งต้น คือภาพสีพสมของดาวเทียม Landsat-5 แบบด' 4 แม่สีแดง, แบบด' 5 แม่สีเขียว และแบบด' 3 แม่สีน้ำเงิน กับภาพดาวเทียมรายละเอียดเจริญพื้นที่สูงกว่าของดาวเทียม Landsat-7 ดังภาพที่ 4-52 ภาพที่ได้จากการทดลอง มีรายละเอียดเจริญพื้นที่ 15 เมตร ดังภาพที่ 4-53 ภาพสีพสมที่ได้ให้สีพื้นที่สำนักกอฟเป็นสีส้ม พื้นที่ป่าไม้เป็นสีแดงถึงน้ำตาล ยกเว้นบริเวณที่ผลัดใบ ให้สีม่วง และม่วงอมเขียว แหล่งน้ำเป็นสีดำ ส่วนบริเวณที่มีตะกอนให้สีม่วงอมน้ำเงิน พื้นที่ชุมชนหนาแน่นมีสีขาวอมน้ำเงินและม่วง ภาพผลลัพธ์ที่ได้สามารถแยกเส้นทางคมนาคมขนาดใหญ่ได้โดยจะปรากฏเป็นเส้นสีม่วงอมน้ำเงิน เส้นทางคมนาคมสายรอง สามารถแยกได้ปานกลางมองเห็นเป็นเส้นสีม่วง สำหรับถนนคันอ่อน สามารถแยกได้ปานกลางมองเห็นเป็นสีขาวอมชมพู ภาพสีพสมที่ได้ให้คุณลักษณะทางเรขาคณิตของเส้นทางคมนาคมขนาดใหญ่ได้ เส้นทางคมนาคมสายรองได้ไม่คิดโดยเห็นได้ในพาริเวณนอกเขต

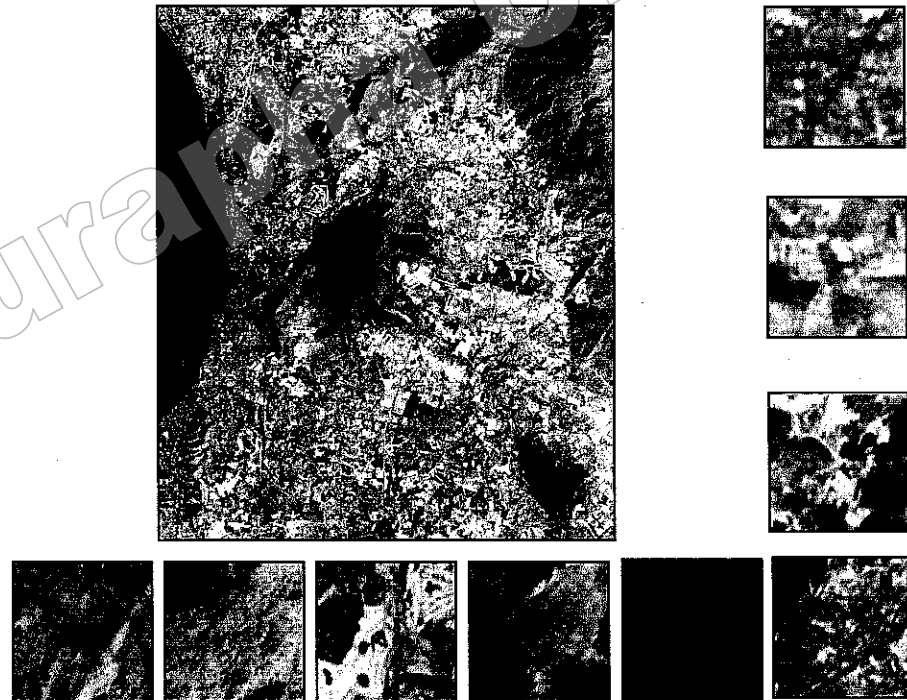
ชุมชน สำหรับถนนดินอ่อน ได้ไม่ดี ผลที่ได้จากการแปลความหมายของภาพสีผิวสมด้วยเทคนิคการแปลภาพด้วยสายตา ได้ความขาวของเส้นทางคุณนาคมในพื้นที่ศึกษาร่วมทั้งสิ้น 147.64 กิโลเมตร ดังภาพที่ 4-68 ก.

3.2.2 ผลลัพธ์ที่ได้จากการหลอมข้อมูลภาพดาวเทียมตั้งต้น ที่ภาพสีผิวสมของดาวเทียม Landsat-5 แบบค์ 4 เมตรสีแดง, แบบค์ 5 เมตรสีเขียว และแบบค์ 3 เมตรสีน้ำเงิน กับภาพดาวเทียมรายละเอียดเชิงพื้นที่สูงกว่าของดาวเทียม IRS-1C ดังภาพที่ 4-54 ภาพที่ได้จากการหลอมมีรายละเอียดเชิงพื้นที่ 5 เมตร ดังภาพที่ 4-55 ภาพสีผิว ให้สีพื้นที่สานามกอลฟ์เป็นสีส้มเข้ม พื้นที่ป่าไม้เป็นสีน้ำตาลแดงถึงน้ำตาลแดงเข้ม ยกเว้นบริเวณที่ผลัดใบให้สีม่วง และสีเขียวเข้ม แหล่งน้ำเป็นสีดำ ส่วนบริเวณที่มีตะกอนให้สีเทาและน้ำเงิน พื้นที่ชุมชนหนาแน่นมีสีขาว เขียว และม่วง ภาพผลลัพธ์ที่ได้สามารถแยกเส้นทางคุณนาคมขนาดใหญ่ได้โดยจะปรากฏเป็นเส้นสีม่วง เส้นทางคุณนาคมสายรอง สามารถแยกได้ปานกลางมองเห็นเป็นเส้นสีม่วง omnichanpu สำหรับถนนดินอ่อนสามารถแยกได้ค่อนองเห็นเป็นสีขาวและขาว omnichanpu ภาพสีผิวสมที่ได้ให้คุณลักษณะทางเรขาคณิตของเส้นทางคุณนาคมขนาดใหญ่ได้ เส้นทางคุณนาคมสายรอง ได้ปานกลาง โดยเห็นเฉพาะบริเวณนอกเขตชุมชน สำหรับถนนดินอ่อน ได้ดี ผลที่ได้จากการแปลความหมายของภาพสีผิวสมด้วยเทคนิคการแปลภาพด้วยสายตา ได้ความขาวของเส้นทางคุณนาคมในพื้นที่ศึกษาร่วมทั้งสิ้น 360.86 กิโลเมตร ดังภาพที่ 4-69 ก.

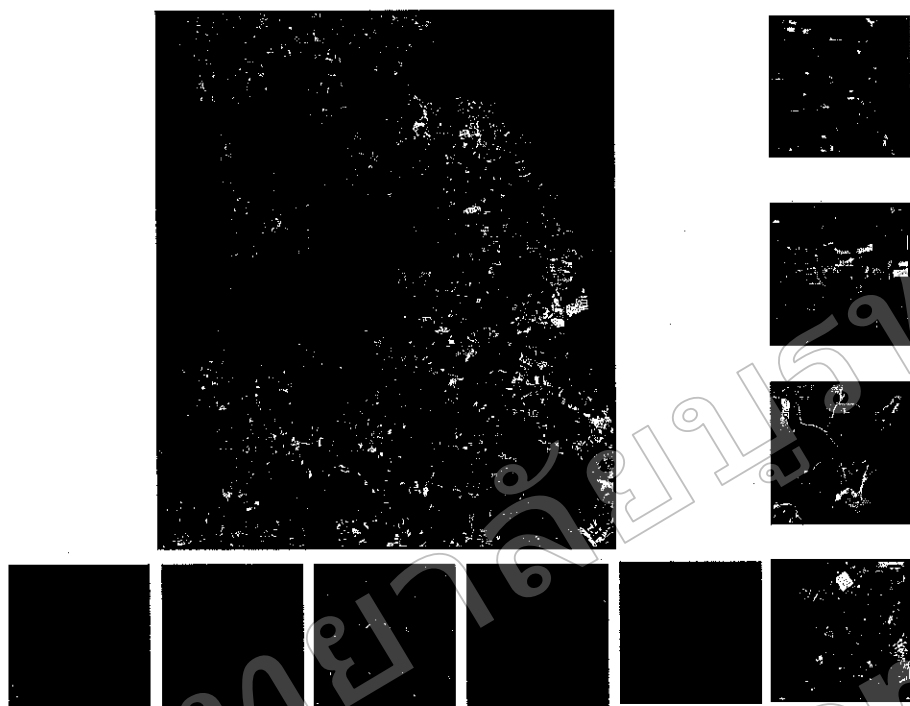
3.2.3 ผลลัพธ์ที่ได้จากการหลอมข้อมูลภาพดาวเทียมตั้งต้น ที่ภาพสีผิวสมของดาวเทียม Landsat-5 แบบค์ 4 เมตรสีแดง, แบบค์ 5 เมตรสีเขียว และแบบค์ 3 เมตรสีน้ำเงิน กับภาพดาวเทียมรายละเอียดเชิงพื้นที่สูงกว่าของดาวเทียม SPOT-5 ดังภาพที่ 4-56 ภาพที่ได้จากการหลอมมีรายละเอียดเชิงพื้นที่ 2.5 เมตร ดังภาพที่ 4-57 ภาพสีผิว ให้สีพื้นที่สานามกอลฟ์เป็นสีส้มถึงน้ำตาล พื้นที่ป่าไม้เป็นสีน้ำตาล ยกเว้นบริเวณที่ผลัดใบให้สีม่วง และม่วง omnichanpu แหล่งน้ำเป็นสีน้ำเงิน ส่วนบริเวณที่มีตะกอนให้สีน้ำเงิน omnichanpu พื้นที่ชุมชนหนาแน่นมีสีขาว เขียว และม่วง ภาพผลลัพธ์ที่ได้สามารถแยกเส้นทางคุณนาคมขนาดใหญ่ได้มาก โดยจะปรากฏเป็นเส้นสีม่วง เส้นทางคุณนาคมสายรอง สามารถแยกได้ค่อนมาก มองเห็นเป็นเส้นสีม่วง omnichanpu สำหรับถนนดินอ่อนสามารถแยกได้มาก มองเห็นเป็นสีขาว ภาพสีผิวสมที่ได้ให้คุณลักษณะทางเรขาคณิตของเส้นทางคุณนาคมขนาดใหญ่ เส้นทางคุณนาคมสายรอง และถนนดินอ่อน ได้มาก ผลที่ได้จากการแปลความหมายของภาพสีผิวสมด้วยเทคนิคการแปลภาพด้วยสายตา ได้ความขาวของเส้นทางคุณนาคม ในพื้นที่ศึกษาร่วมทั้งสิ้น 775.20 กิโลเมตร ดังภาพที่ 4-70 ก.



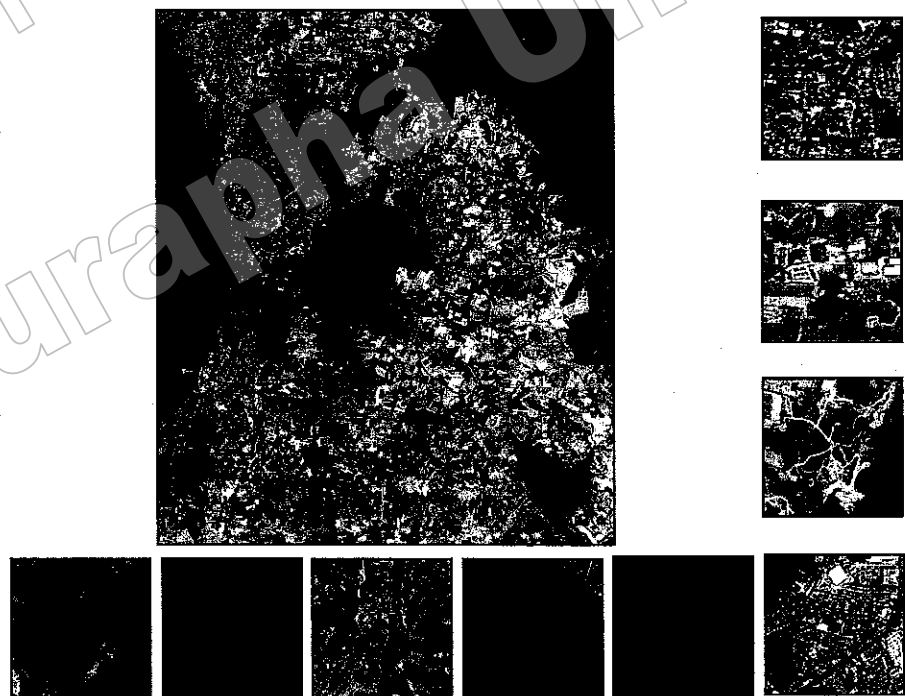
ภาพที่ 4-52 ภาพดาวเทียม Landsat-7 Panchromatic รายละเอียด เซิงพื้นที่ 15 เมตร



ภาพที่ 4-53 การลดลงข้อมูลดาวเทียม Landsat-7 Panchromatic และดาวเทียม Landsat-5
แบบที่ 4-5-3 โดยใช้วิธี Brovey Transformation รายละเอียดเซิงพื้นที่ 15 เมตร

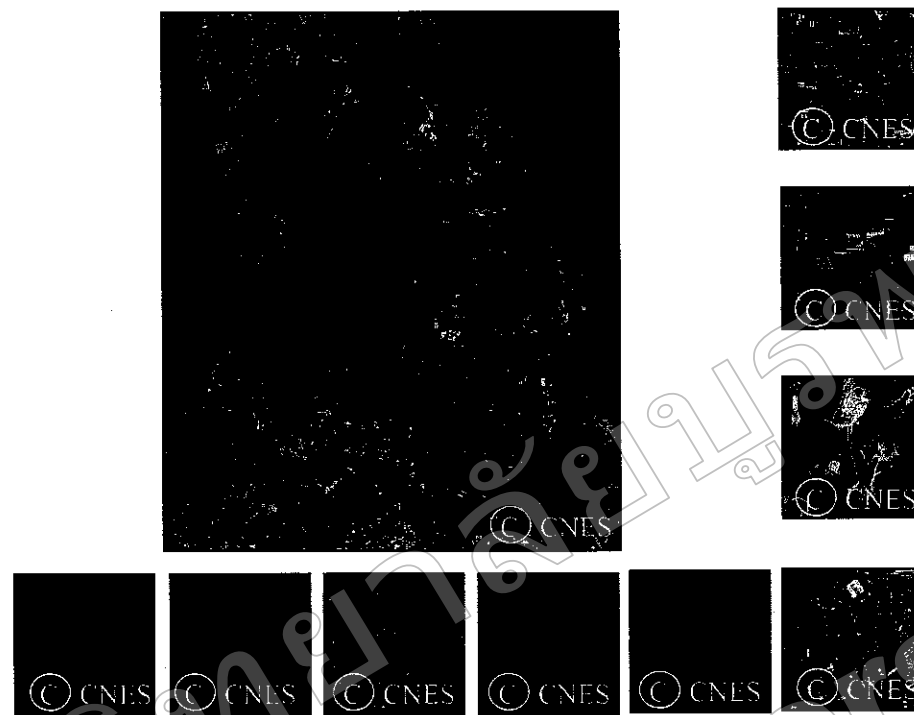


ภาพที่ 4-54 ภาพดาวเทียม IRS-1C Panchromatic รายละเอียด เชิงพื้นที่ 5 เมตร



ภาพที่ 4-55 การหลอมข้อมูลดาวเทียม IRS-1C Panchromatic และดาวเทียม Landsat-5

แบบด 4-5-3 โดยใช้วิธี Brovey Transformation รายละเอียดเชิงพื้นที่ 5 เมตร



ภาพที่ 4-56 ภาพดาวเทียม SPOT-5 Panchromatic รายละเอียด เซิงพื้นที่ 2.5 เมตร



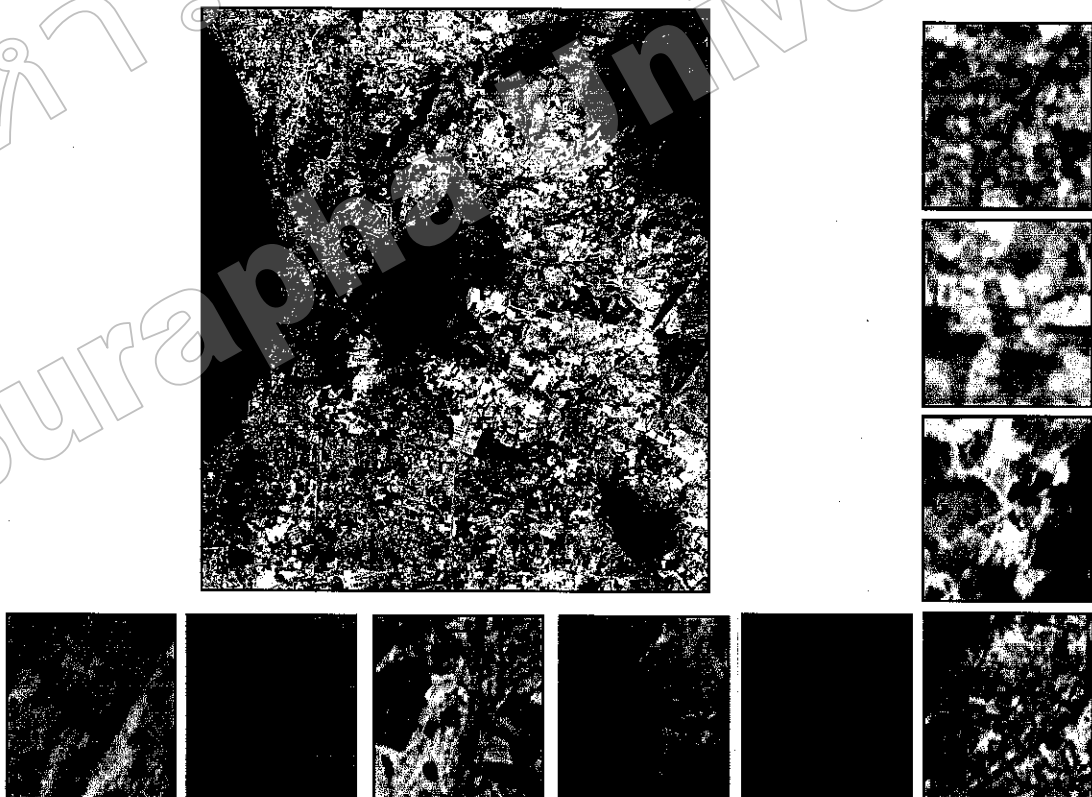
ภาพที่ 4-57 การหลอมข้อมูลดาวเทียม SPOT-5 Panchromatic และดาวเทียม Landsat-5
แบบ 4-5-3 โดยใช้วิธี Brovey Transformation รายละเอียดเซิงพื้นที่ 2.5 เมตร

3.3 วิธีการ HSI Color Transformation โดย Hexcone เป็นการหลอมข้อมูลภาพสีผสม จากดาวเทียม Landsat-5 แบบ 4, 5 และ 3 โดยใช้เทคนิคการแปลงระบบสีจากระบบ R-G-B เป็นระบบสี HSI ภาพที่ได้จากการหลอมข้อมูลจะมีรายละเอียดเท่ากับภาพดาวเทียมรายละเอียดสูง ระบบ Panchromatic ที่เข้ามาแทนในส่วนของ Intensity (I) ผลที่ได้มีดังนี้

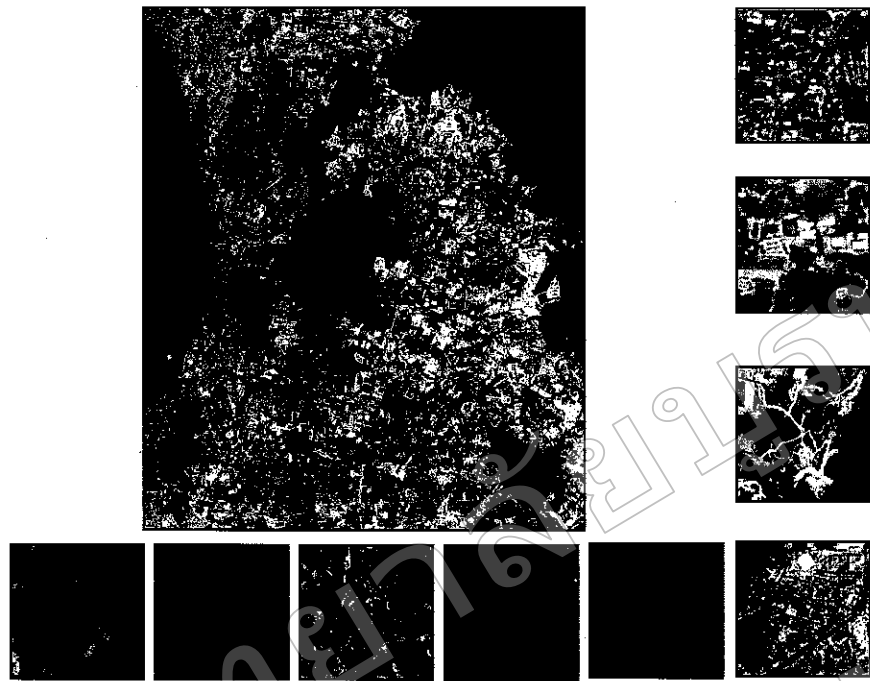
3.3.1 ผลลัพธ์ที่ได้จากการหลอมข้อมูลภาพดาวเทียมตั้งต้น คือภาพสีผสมของดาวเทียม Landsat-5 แบบ 4 แม่สีแดง, แบบ 5 แม่สีเขียว และแบบ 3 แม่สีน้ำเงิน กับภาพดาวเทียมรายละเอียดเชิงพื้นที่สูงกว่าของดาวเทียม Landsat-7 ภาพที่ได้จากการหลอมมีรายละเอียดเชิงพื้นที่ 15 เมตร ภาพสีผสม ดังภาพที่ 4-58 ให้สีพื้นที่สามารถอ่านเป็นสีสัน พื้นที่ป่าไม้เป็นสีแดง ถึงน้ำตาลแดง ยกเว้นบริเวณที่ผลัดใบให้สีม่วง และม่วงอมเขียว แหล่งน้ำเป็นสีดำ ส่วนบริเวณที่มีตะกอนให้สีน้ำเงินถึงน้ำเงินอมม่วง พื้นที่ชุมชนหนาแน่นมีสีขาว เขียว และม่วง ภาพผลลัพธ์ที่ได้สามารถแยกเส้นทางคมนาคมขนาดใหญ่ได้ดี โดยจะปรากฏเป็นเส้นสีม่วงเข้ม เส้นทางคมนาคมสายรอง แยกได้ไม่ดี มองเห็นเป็นเส้นสีม่วง สำหรับถนนคันอ่อน สามารถแยกได้ปานกลาง มองเห็นเป็นสีขาวอมชมพู ภาพสีผสมที่ได้ให้คุณลักษณะทางเรขาคณิตของเส้นทางคมนาคมขนาดใหญ่ได้ปานกลาง เส้นทางคมนาคมสายรองได้ไม่ดี โดยเห็นได้ชัดเจนเฉพาะบริเวณอกเขตชุมชน สำหรับถนนคันอ่อน ได้ปานกลาง ผลที่ได้จากการแปลงความหมายของภาพสีผสมด้วยเทคนิคการแปลงภาพด้วยสายตา ได้ความขาวของเส้นทางคมนาคมในพื้นที่ศึกษาร่วมทั้งสิ้น 153.14 กิโลเมตร ดังภาพที่ 4-68 ค.

3.3.2 ผลลัพธ์ที่ได้จากการหลอมข้อมูลภาพดาวเทียมตั้งต้น คือภาพสีผสมของดาวเทียม Landsat-5 แบบ 4 แม่สีแดง, แบบ 5 แม่สีเขียว และแบบ 3 แม่สีน้ำเงิน กับภาพดาวเทียมรายละเอียดเชิงพื้นที่สูงกว่าของดาวเทียม IRS-1C ภาพที่ได้จากการหลอมมีรายละเอียดเชิงพื้นที่ 5 เมตร ดังภาพที่ 4-59 ภาพสีผสม ให้สีพื้นที่สามารถอ่านเป็นสีน้ำตาล พื้นที่ป่าไม้เป็นสีน้ำตาลเข้ม ยกเว้นบริเวณที่ผลัดใบให้สีม่วง และม่วงอมเขียว แหล่งน้ำเป็นสีดำ ส่วนบริเวณที่มีตะกอนให้สีน้ำเงินถึงน้ำเงินอมม่วง พื้นที่ชุมชนหนาแน่นมีสีขาว เขียว และม่วง ภาพผลลัพธ์ที่ได้สามารถแยกเส้นทางคมนาคมขนาดใหญ่ได้มาก โดยจะปรากฏเป็นเส้นสีม่วง เส้นทางคมนาคมสายรอง แยกได้ปานกลาง มองเห็นเป็นเส้นสีม่วง สำหรับถนนคันอ่อน สามารถแยกได้ดี มองเห็นเป็นสีขาวอมชมพู ภาพสีผสมที่ได้ให้คุณลักษณะทางเรขาคณิตของเส้นทางคมนาคมขนาดใหญ่ได้เส้นทางคมนาคมสายรองได้ปานกลาง โดยเห็นได้ชัดเจนเฉพาะบริเวณอกเขตชุมชน สำหรับถนนคันอ่อนได้ปานกลาง ผลที่ได้จากการแปลงความหมายของภาพสีผสมด้วยเทคนิคการแปลงภาพด้วยสายตา ได้ความขาวของเส้นทางคมนาคมในพื้นที่ศึกษาร่วมทั้งสิ้น 286.19 กิโลเมตร ดังภาพที่ 4-69 ค.

3.3.3 ผลลัพธ์ที่ได้จากการหลอมข้อมูลภาพดาวเทียมตึ้งตัน กือภาพสีผสมของดาวเทียม Landsat-5 แบนด์ 4 แม่สีแดง แบนด์ 5 แม่สีเขียว แบนด์ 3 แม่สีน้ำเงิน กับภาพดาวเทียมรายละเอียดเชิงพื้นที่สูงกว่าของดาวเทียม SPOT-5 ภาพที่ได้จากการหลอมมีรายละเอียดเชิงพื้นที่ 2.5 เมตร ดังภาพที่ 4-60 ภาพสีผสม ให้สีพื้นที่ส่วนกออฟเป็นสีน้ำตาล พื้นที่ป่าไม้เป็นสีน้ำตาลเข้ม ยกเว้นบริเวณที่ผลัดใบให้สีม่วง และม่วงอมเขียว แหล่งน้ำเป็นสีน้ำเงินและน้ำเงินอมเทาส่วนบริเวณที่มีตะกอนให้สีม่วง พื้นที่ชุมชนหนาแน่นมีสีขาว เขียว และม่วง ภาพผลลัพธ์ที่ได้สามารถแยกเด่นทางคุณภาพขนาดใหญ่ได้ดีมาก โดยจะปรากฏเป็นเด่นสีม่วง เด่นทางคุณภาพสายรอง แยกได้ดีมาก มองเห็นเป็นเด่นสีม่วงอมชมพู สำหรับถนนดินอ่อน สามารถแยกได้ดีมาก มองเห็นเป็นสีขาว ภาพสีผสมที่ได้ให้คุณลักษณะทางเรขาคณิตของเด่นทางคุณภาพขนาดใหญ่ เด่นทางคุณภาพสายรอง และถนนดินอ่อน ได้ดีมาก ผลที่ได้จากการเปลี่ยนแปลงขนาดของภาพสีผสมด้วยเทคนิคการแปลภาพด้วยสายตาได้ความบ้าของเด่นทางคุณภาพในพื้นที่ศักยาร่วงทั้งสิ้น 1,000.88 กิโลเมตร ดังภาพที่ 4-70 ค.



ภาพที่ 4-58 การหลอมข้อมูลดาวเทียม Landsat-7 Panchromatic และดาวเทียม Landsat-5 แบนด์ 4-5-3 โดยใช้วิธี HSI Color Transformation รายละเอียดเชิงพื้นที่ 15 เมตร



ภาพที่ 4-59 การหลอมข้อมูลดาวเทียม IRS-1C Panchromatic และดาวเทียม Landsat-5
แบบด้วยวิธี HSI Color Transformation รายละเอียดเชิงพื้นที่ 15 เมตร



ภาพที่ 4-60 การหลอมข้อมูลดาวเทียม SPOT-5 และดาวเทียม Landsat-5 แบบด้วยวิธี
HSI Color Transformation รายละเอียดเชิงพื้นที่ 2.5 เมตร

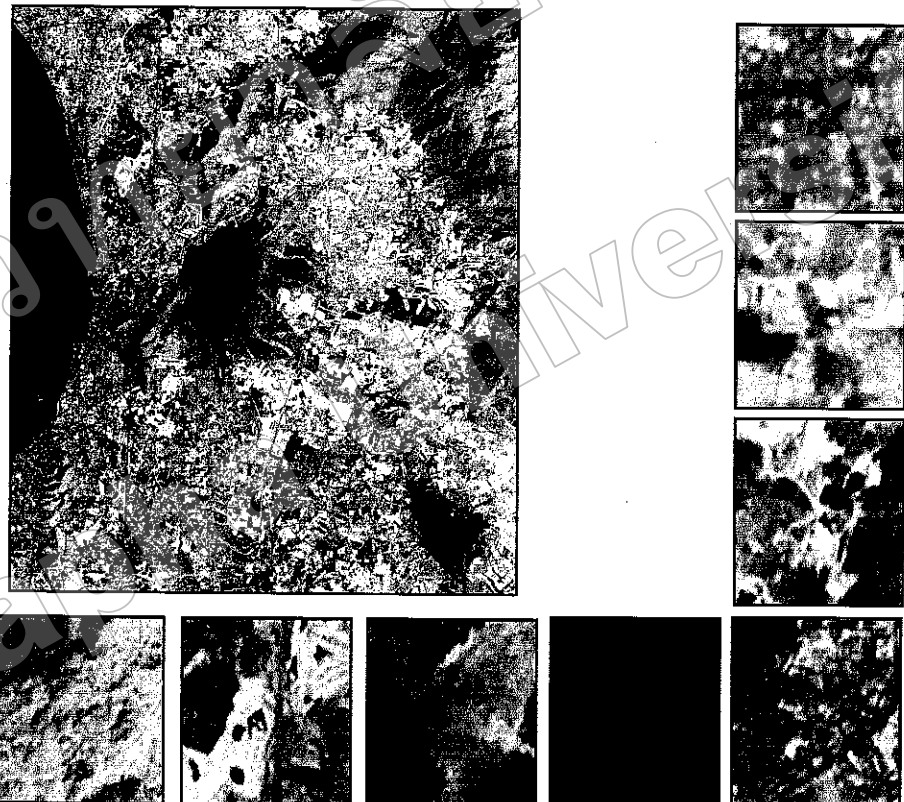
3.4 วิธีการ PCA เป็นการหลอมข้อมูลภาพที่ยอมรับว่าเป็นคุณภาพดีจากการหลอมข้อมูลจะมีรายละเอียดเท่ากับภาพดาวเทียมรายละเอียดสูงระบบ Panchromatic ที่นำมาหลอมผลที่ได้มีดังนี้

3.4.1 ผลลัพธ์ที่ได้จากการหลอมข้อมูลภาพดาวเทียมตั้งต้น คือภาพดาวเทียม Landsat-5 แบนด์ 1 ถึง 7 กับภาพดาวเทียมรายละเอียดเชิงพื้นที่สูงกว่าของดาวเทียม Landsat-7 ดังภาพที่ 4-61 ภาพสีผสม ให้สีพื้นที่สีน้ำเงินเป็นสีส้มอ่อนอมเหลือง พื้นที่ป่าไม้เป็นสีส้มถึงน้ำตาลอ่อน ยกเว้นบริเวณที่ผลัดใบให้สีม่วงอ่อนอมเขียว แหล่งน้ำเป็นสีดำ ด้านบริเวณที่มีตะกอนให้สีเทาเข้ม พื้นที่ชุมชนหนาแน่นมีสีขาวอมน้ำเงิน และม่วง ภาพผลลัพธ์ที่ได้สามารถแยกเส้นทางคมนาคมขนาดใหญ่ได้ดี โดยจะปรากฏเป็นเส้นสีม่วง เส้นทางคมนาคมสายรอง แยกได้ไม่ดี มองเห็นเป็นเส้นสีม่วงของเทา สำหรับถนนดินอ่อน สามารถแยกได้ปานกลาง มองเห็นเป็นสีขาว ภาพสีผสมที่ได้ให้คุณลักษณะทางเรขาคณิตของเส้นทางคมนาคมขนาดใหญ่ได้ปานกลาง เส้นทางคมนาคมสายรองได้ไม่ดี โดยเห็นได้ชัดเจนเฉพาะบริเวณนอกเขตชุมชน สำหรับถนนดินอ่อนได้ปานกลางผลที่ได้จากการแปลความหมายของภาพสีผสมด้วยเทคนิคการแปลภาพด้วยสายตาได้ความยาวของเส้นทางคมนาคมในพื้นที่ศึกษาร่วมทั้งสิ้น 152.24 กิโลเมตร ดังภาพที่ 4-68 ฯ.

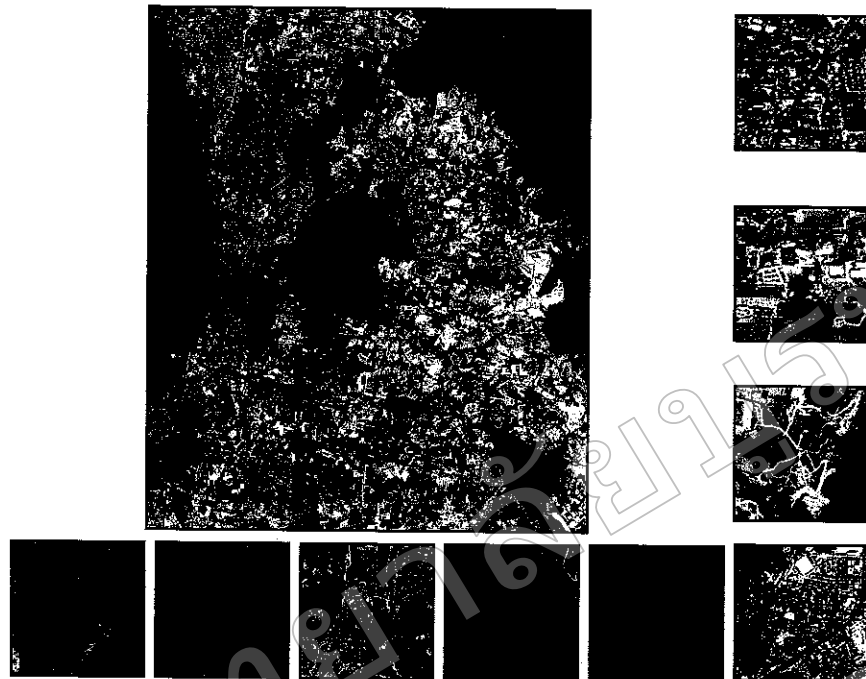
3.4.2 ผลลัพธ์ที่ได้จากการหลอมข้อมูลภาพดาวเทียมตั้งต้น คือภาพดาวเทียม Landsat-5 แบนด์ 1 ถึง 7 กับภาพดาวเทียมรายละเอียดเชิงพื้นที่สูงกว่าของดาวเทียม IRS-1C ภาพที่ได้จากการหลอมมีรายละเอียดเชิงพื้นที่ 5 เมตร ดังภาพที่ 4-62 ภาพสีผสม ให้สีพื้นที่สีน้ำเงินเป็นสีส้ม พื้นที่ป่าไม้เป็นสีน้ำตาลแดง ยกเว้นบริเวณที่ผลัดใบให้สีม่วง และม่วงอมเขียว แหล่งน้ำเป็นสีดำและคำรามเทา ส่วนบริเวณที่มีตะกอนให้สีเทา พื้นที่ชุมชนหนาแน่นมีสีขาว เขียว และม่วงอมเทา ภาพผลลัพธ์ที่ได้สามารถแยกเส้นทางคมนาคมขนาดใหญ่ได้มาก โดยจะปรากฏเป็นเส้นสีม่วง เส้นทางคมนาคมสายรอง แยกได้ปานกลาง มองเห็นเป็นเส้นสีม่วงของเทา สำหรับถนนดินอ่อน สามารถแยกได้ดี มองเห็นเป็นสีขาว ภาพสีผสมที่ได้ให้คุณลักษณะทางเรขาคณิตของเส้นทางคมนาคมขนาดใหญ่ได้ดี เส้นทางคมนาคมสายรองได้ปานกลาง โดยเห็นเฉพาะบริเวณนอกเขตชุมชน สำหรับถนนดินอ่อนได้ดี ผลที่ได้จากการแปลความหมายของภาพสีผสมด้วยเทคนิคการแปลภาพด้วยสายตาได้ความยาวของเส้นทางคมนาคมในพื้นที่ศึกษาร่วมทั้งสิ้น 377.92 กิโลเมตร ดังภาพที่ 4-69 ฯ.

3.4.3 ผลลัพธ์ที่ได้จากการหลอมข้อมูลภาพดาวเทียมตั้งต้น คือภาพดาวเทียม Landsat-5 แบนด์ 1 ถึง 7 กับภาพดาวเทียมรายละเอียดเชิงพื้นที่สูงกว่าของดาวเทียม SPOT-5 ภาพที่ได้จากการหลอมมีรายละเอียดเชิงพื้นที่ 2.5 เมตร ดังภาพที่ 4-63 ภาพสีผสม ให้สีพื้นที่สีน้ำเงินเป็นสีส้ม พื้นที่ป่าไม้เป็นสีน้ำตาลแดง ยกเว้นบริเวณที่ผลัดใบให้สีม่วง และม่วงอมเขียว แหล่งน้ำ

เป็นสีน้ำเงินอมเทาส่วนบริเวณที่มีตะกอนให้สีน้ำเงินอมม่วง พื้นที่ชุมชนพานาแน่นมีสีขาว เนียว และม่วง ภาพผลลัพธ์ที่ได้สามารถแยกเส้นทางคุณนาคมขนาดใหญ่ได้ดีมาก โดยจะปรากฏเป็นเส้นสีม่วง เส้นทางคุณนาคมสายรอง แยกได้ดีมาก มองเห็นเป็นเส้นสีม่วงของหมู่ สำหรับถนนดินอ่อน สามารถแยกได้ดีมาก มองเห็นเป็นสีขาว ภาพสีผสมที่ได้ให้คุณลักษณะทางเรขาคณิตของเส้นทางคุณนาคมขนาดใหญ่ เส้นทางคุณนาคมสายรอง และถนนดินอ่อน ได้ดีมาก ผลที่ได้จากการแปลความหมายของภาพสีผสมด้วยเทคนิคการแปลภาพด้วยสายตา ได้ความขาวของเส้นทางคุณนาคมในพื้นที่ศึกษาร่วมทั้งสิ้น 1,002.13 กิโลเมตร ตั้งภาพที่ 4-70 ฯ.



ภาพที่ 4-61 การหลอมซ้อนข้อมูลดาวเทียม Landsat-7 Panchromatic และดาวเทียม Landsat-5 แบบดี 4-5-3 โดยใช้วิธี PCA (Principal Component Analysis) รายละเอียดเจิงพื้นที่ 15 เมตร



ภาพที่ 4-62 การหลอมข้อมูลดาวเทียม IRS-1C Panchromatic และดาวเทียม Landsat-5 แบนด์ 4-5-3 โดยใช้วิธี PCA (Principal Component Analysis) รายละเอียดเชิงพื้นที่ 5 เมตร



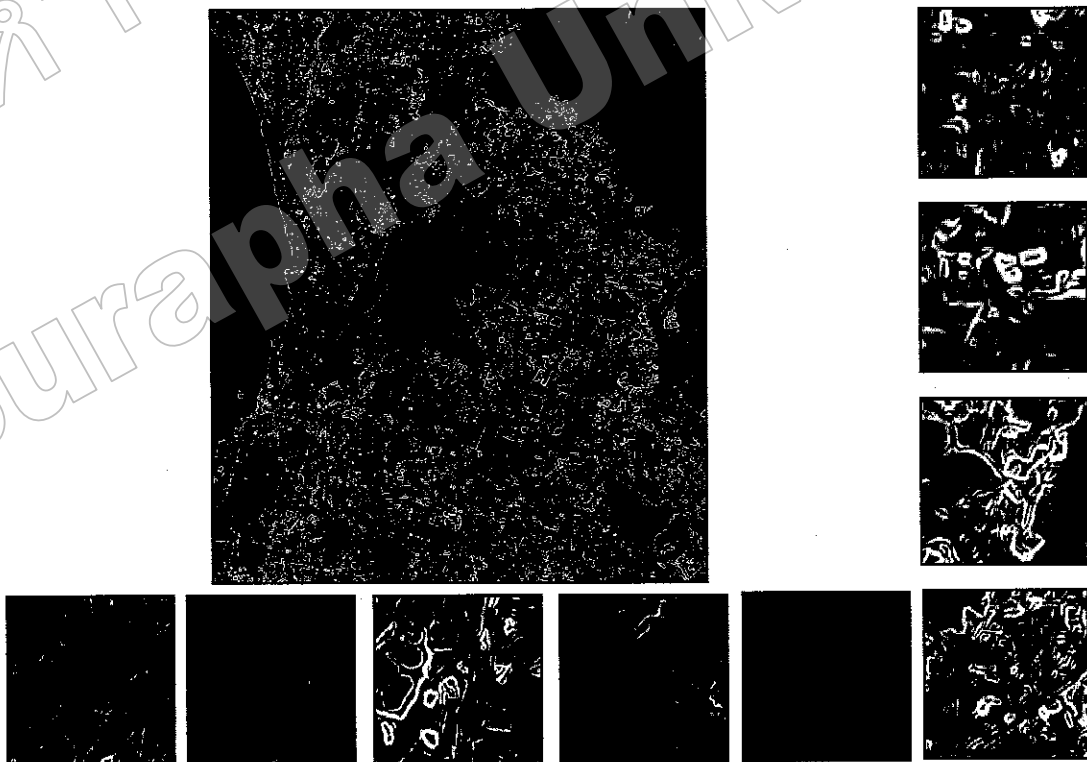
ภาพที่ 4-63 การหลอมข้อมูลดาวเทียม SPOT-5 Panchromatic และดาวเทียม Landsat-5 แบนด์ 4-5-3 โดยใช้วิธี PCA (Principal Component Analysis) รายละเอียดเชิงพื้นที่ 2.5 เมตร

3.5 วิธีการ HPF เป็นการลดลงข้อมูลภาพเที่ยมโดยใช้เทคนิค HSI ร่วมกับการใช้ตัวกรองความถี่สูงแบบเน้นขอบ (Edge Enhancement) ภาพที่ได้จากการลดลงข้อมูลจะมีรายละเอียดเท่ากับภาพดาวเที่ยมรายละเอียดสูงระบบ Panchromatic ที่นำมาลดลง ผลที่ได้มีดังนี้

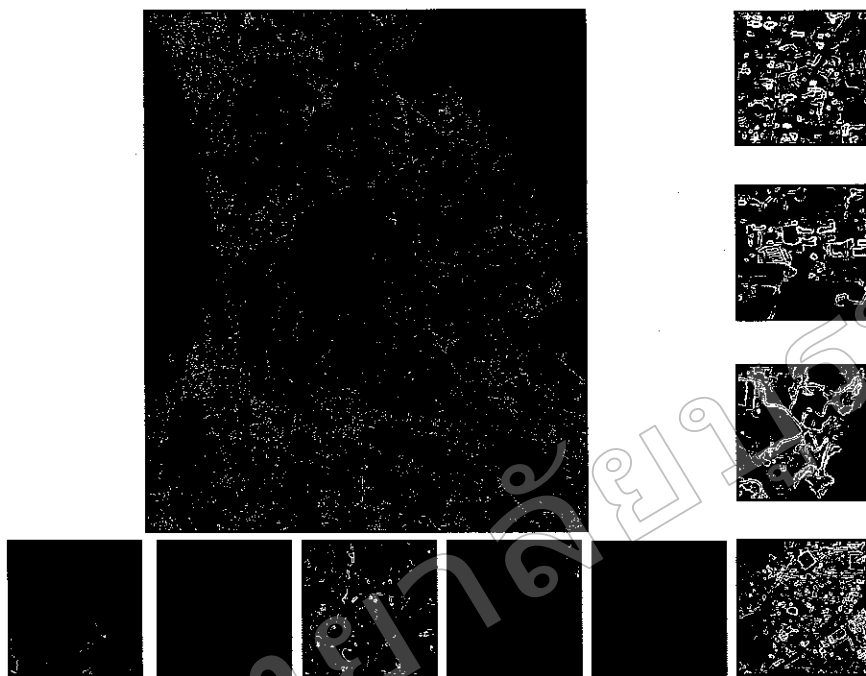
3.5.1 ผลลัพธ์ที่ได้จากการลดลงข้อมูลภาพดาวเที่ยมตั้งต้น คือภาพสีผสมของดาวเที่ยม Landsat-5 แบบด' 4 แม่สีแดง, แบบด' 5 แม่สีเขียว และแบบด' 3 แม่สีน้ำเงิน กับภาพดาวเที่ยมรายละเอียดเชิงพื้นที่สูงกว่าของดาวเที่ยม Landsat-7 ที่ผ่านกระบวนการกรองข้อมูลภาพด้วยการใช้ตัวกรองความถี่สูงแบบเน้นขอบ (Edge Enhancement) ภาพที่ได้จากการลดลงมีรายละเอียดเชิงพื้นที่ 15 เมตร ดังภาพที่ 4-64 ภาพสีผสม ให้สีพื้นที่สีน้ำเงินเป็นสีสามและน้ำตาล พื้นที่ป่าไม้เป็นสีน้ำตาลยกเว้นบริเวณที่ผลัดใบให้สีม่วง และม่วงอมเขียว แหล่งน้ำเป็นสีดำอมเทา ส่วนบริเวณที่มีตะกอนให้สีน้ำเงินและน้ำเงินอมม่วง พื้นที่ชุมชนหนาแน่นมีสีขาว และม่วง ภาพผลลัพธ์ที่ได้แยกเส้นทางคมนาคมทุกขนาด ได้ไม่ดี โดยไม่สามารถเห็นเส้นทางคมนาคมสายรอง และถนนดินอ่อน สำหรับเส้นทางคมนาคมขนาดใหญ่สามารถแยกได้บางส่วน โดยมองเห็นเป็นสีม่วงของขาว ภาพสีผสมที่ได้ให้คุณลักษณะทางเรขาคณิตของเส้นทางคมนาคมขนาดทุกขนาด ได้ไม่ดี ผลที่ได้จากการแปลความหมายของภาพสีผสมด้วยเทคนิคการแปลภาพด้วยสายตา ได้ความขาวของเส้นทางคมนาคมในพื้นที่ศึกษาร่วมทั้งสิ้น 80 กิโลเมตร ดังภาพที่ 4-68 ง.

3.5.2 ผลลัพธ์ที่ได้จากการลดลงข้อมูลภาพดาวเที่ยมตั้งต้น คือภาพสีผสมของดาวเที่ยม Landsat-5 แบบด' 4 แม่สีแดง, แบบด' 5 แม่สีเขียว และแบบด' 3 แม่สีน้ำเงิน กับภาพดาวเที่ยมรายละเอียดเชิงพื้นที่สูงกว่าของดาวเที่ยม IRS-1C ที่ผ่านกระบวนการกรองข้อมูลภาพด้วยการใช้ตัวกรองความถี่สูงแบบเน้นขอบ (Edge Enhancement) ภาพที่ได้จากการลดลงมีรายละเอียดเชิงพื้นที่ 5 เมตร ดังภาพที่ 4-65 ภาพสีผสม ให้สีพื้นที่สีน้ำตาล พื้นที่ป่าไม้เป็นสีน้ำตาลเข้ม ยกเว้นบริเวณที่ผลัดใบให้สีม่วงสลับเขียว แหล่งน้ำเป็นสีดำและน้ำเงินอมดำ ส่วนบริเวณที่มีตะกอนให้สีน้ำเงินถึงน้ำเงินอมม่วง พื้นที่ชุมชนหนาแน่นมีสีขาว เขียว และม่วง ภาพผลลัพธ์ที่ได้สามารถแยกเส้นทางคมนาคมขนาดใหญ่ได้ปานกลาง โดยจะปรากฏเป็นเส้นสีม่วงเข้มของขาว เส้นทางคมนาคมสายรอง แยกได้ไม่ดี มองเห็นเป็นเส้นสีม่วง สำหรับถนนดินอ่อน สามารถแยกได้ดี มองเห็นเป็นสีขาว ภาพสีผสมที่ได้ให้คุณลักษณะทางเรขาคณิตของเส้นทางคมนาคมขนาดใหญ่ได้ปานกลาง เส้นทางคมนาคมสายรองได้ปานกลาง โดยเห็นเฉพาะบริเวณนอกเขตชุมชน สำหรับถนนดินอ่อนได้ดี ผลที่ได้จากการแปลความหมายของภาพสีผสมด้วยเทคนิคการแปลภาพด้วยสายตา ได้ความขาวของเส้นทางคมนาคมในพื้นที่ศึกษาร่วมทั้งสิ้น 211.81 กิโลเมตร ดังภาพที่ 4-69 ง.

3.5.3 ผลลัพธ์ที่ได้จากการหลอมข้อมูลภาพดาวเทียมตั้งต้น คือภาพสีผสมของดาวเทียม Landsat-5 แบนด์ 4 แม่สีแดง, แบนด์ 5 แม่สีเขียว และแบนด์ 3 แม่สีน้ำเงิน กับภาพดาวเทียมรายละเอียดเชิงพื้นที่สูงกว่าของดาวเทียม SPOT-5 ที่ผ่านกระบวนการกรองข้อมูลภาพด้วยการใช้ตัวกรองความถี่สูงแบบเน้นขอบ (Edge Enhancement) ภาพที่ได้จากการหลอมมีรายละเอียดเชิงพื้นที่ 2.5 เมตร ดังภาพที่ 4-66 ภาพสีผสม ให้สีพื้นที่สีน้ำตาลเข้ม พื้นที่ป่าไม้ เป็นสีน้ำตาลเข้ม ยกเว้นบริเวณที่ผลัดใบ ให้สีม่วง และม่วงอมเขียว แหล่งน้ำเป็นสีน้ำเงินเข้มถึงดำ ส่วนบริเวณที่มีตะกอนให้สีขาว พื้นที่ทุ่นขนาดใหญ่ให้ปานกลาง โดยจะปรากฏเป็นเส้นสีม่วง เส้นทางคมนาคมสายรอง แยกได้ปานกลาง มองเห็นเป็นเส้นสีม่วง omnipath สำหรับถนนคันอ่อน สามารถแยกได้ดี มองเห็นเป็นสีขาว ภาพสีผสมที่ได้ให้คุณลักษณะทางเรขาคณิตของเส้นทางคมนาคมขนาดใหญ่ เส้นทางคมนาคมสายรอง และถนนคันอ่อนได้ดีปานกลาง ผลที่ได้จากการแปลงความหมายของภาพสีผสมด้วยเทคนิคการแปลงภาพด้วยสายตา ได้ความขาวของเส้นทางคมนาคมในพื้นที่ศักยาร่วมทั้งถิ่น 685.76 กิโลเมตร ดังภาพที่ 4-70 ฯ.



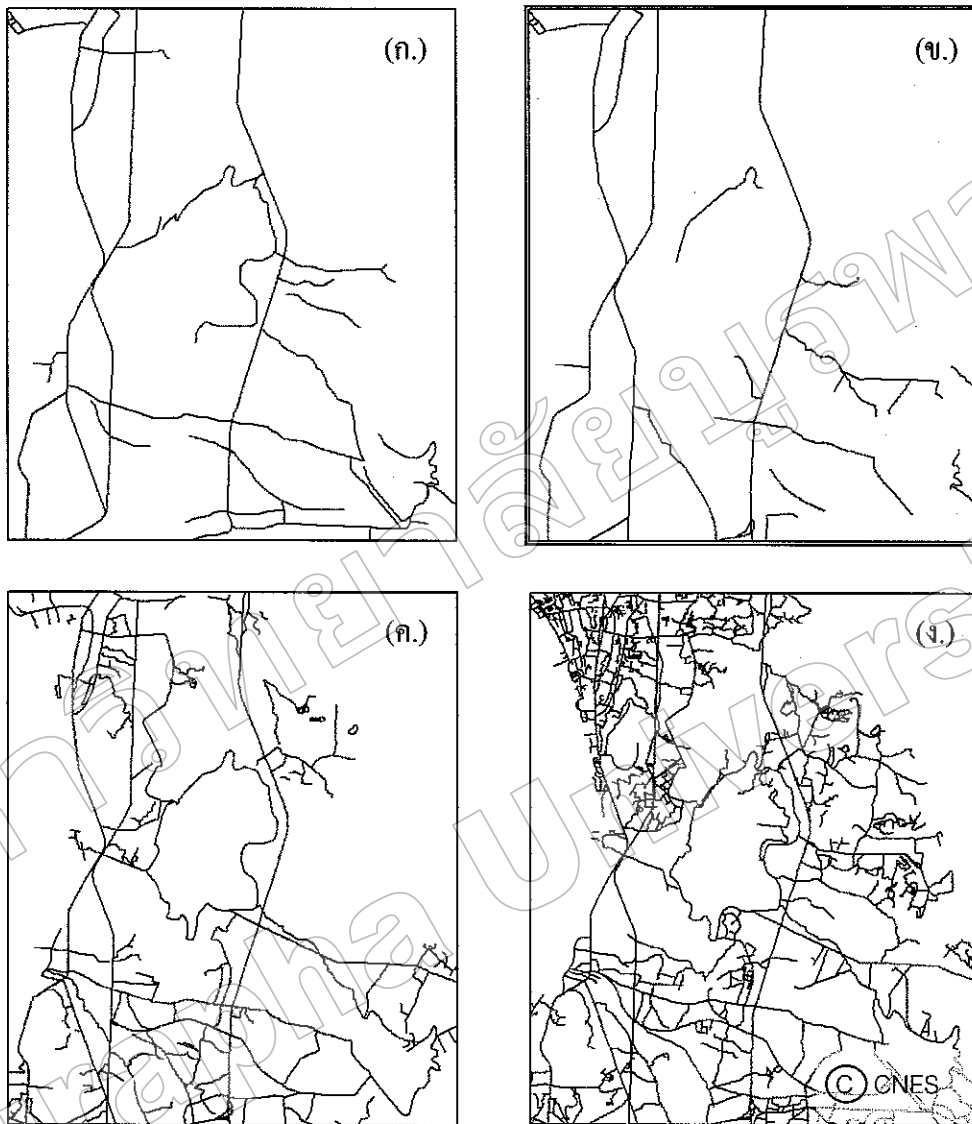
ภาพที่ 4-64 การหลอมข้อมูลดาวเทียม Landsat-7 Panchromatic และดาวเทียม Landsat-5 แบนด์ 4-5-3 โดยใช้วิธี HPF (High Pass Filter) รายละเอียดเชิงพื้นที่ 15 เมตร



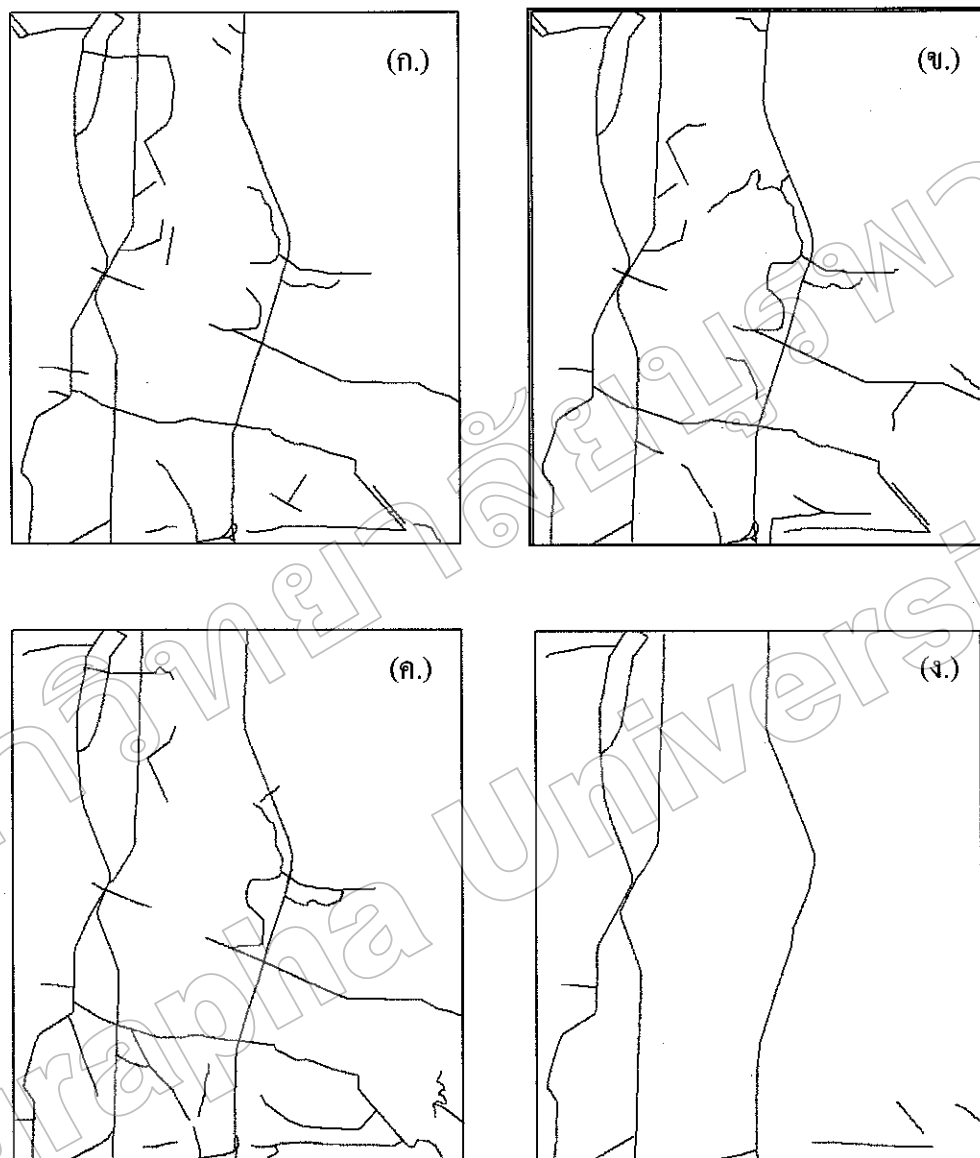
ภาพที่ 4-65 การหลอมข้อมูลดาวเทียม IRS-1C Panchromatic และดาวเทียม Landsat-5
แบบที่ 4-5-3 โดยใช้วิธี HPF (High Pass Filter) รายละเอียดเชิงพื้นที่ 5 เมตร



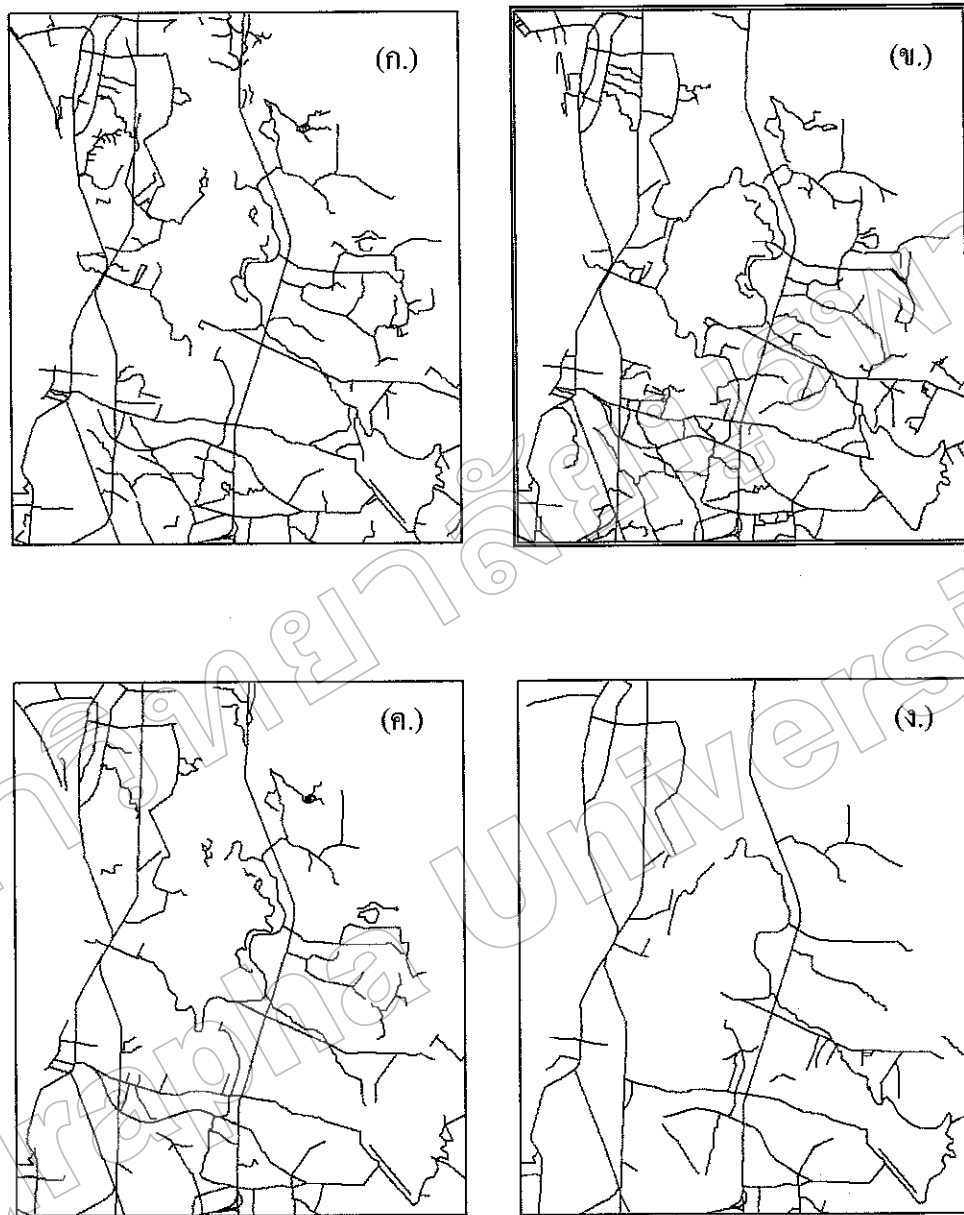
ภาพที่ 4-66 การหลอมข้อมูลดาวเทียม SPOT-5 Panchromatic และดาวเทียม Landsat-5
แบบที่ 4-5-3 โดยใช้วิธี HPF (High Pass Filter) รายละเอียดเชิงพื้นที่ 2.5 เมตร



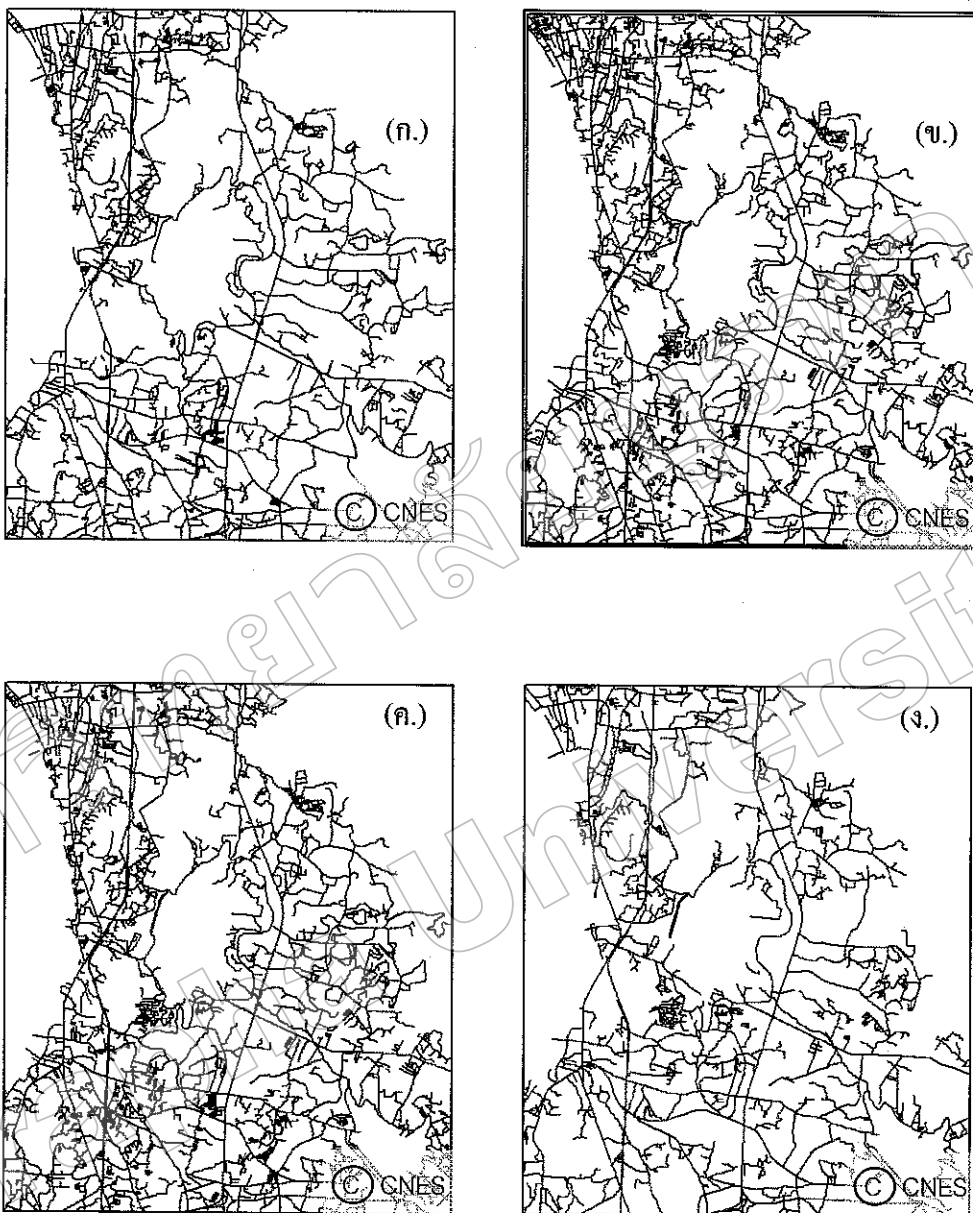
ภาพที่ 4-67 แสดงปริมาณเส้นทางคมนาคม ที่ได้จากการนำเข้าข้อมูลบนหน้าจอของข้อมูลตั้งต้นที่ใช้ในการผลิตข้อมูล (ก. Landsat-5 R-G-B 4-5-3 ภ. Landsat-7 Panchromatic
ค. IRS-1C Panchromatic ด. SPOT-5 Panchromatic)



ภาพที่ 4-68 แสดงปริมาณเส้นทางคณิต ที่ได้จากการนำเข้าข้อมูลบนหน้าจอ ของข้อมูลที่ได้จากการ
การหลอมข้อมูล Landsat-7 ระบบ Panchromatic กับข้อมูล Landsat-5 (TM) ด้วยวิธีการ
ต่าง ๆ (ก. วิธีการ Brovey Transformation ง. วิธีการ PCA (Principal Component
Analysis) จ. วิธีการ HSI Color Transformation ฉ. วิธีการ HPF (High Pass Filter))



ภาพที่ 4-69 แสดงปริมาณเส้นทางคมนาคม ที่ได้จากการนำเข้าข้อมูลบนหน้าจอ ของข้อมูลที่ได้จากการ
การหลอมข้อมูล IRS-1C ระบบ Panchromatic กับข้อมูล Landsat-5 (TM) ด้วยวิธีการ
ต่าง ๆ (ก. วิธีการ Brovey Transformation ภ. วิธีการ PCA (Principal Component
Analysis) ค. วิธีการ HSI Color Transformation ง. วิธีการ HPF (High Pass Filter))



ภาพที่ 4-70 แสดงปริมาณเต็มทางคณิตศาสตร์ที่ได้จากการนำเข้าข้อมูลบนหน้าจอ ของข้อมูลที่ได้จากการทดลองข้อมูล SPOT-5 ระบบ Panchromatic กับข้อมูล Landsat-5 (TM) ด้วยวิธีการต่างๆ (ก. วิธีการ Brovey Transformation บ. วิธีการ PCA (Principal Component Analysis) ค. วิธีการ HSI Color Transformation ง. วิธีการ HPF (High Pass Filter))

การเปรียบเทียบเชิงคุณภาพที่ได้จากการลดลงข้อมูล

จากการเปรียบเทียบความสามารถในการจำแนกรายละเอียดเชิงคุณภาพของข้อมูลในภาพผลลัพธ์ที่ได้จากการลดลงข้อมูลภาพดาวเทียมตั้งต้น ระหว่างข้อมูลภาพจากดาวเทียมรายละเอียดสูง ได้แก่ ดาวเทียม Landsat-7 ดาวเทียม IRS-1C ดาวเทียม Radarsat ดาวเทียม SPOT-5 ร่วมกับข้อมูลจากดาวเทียม Landsat-5 โดยใช้เทคนิควิธีการแบบต่าง ๆ ได้แก่ วิธีการ Brovey Transformation วิธีการ HSI Color Transformation วิธีการ PCA (Principal Component Analysis) และวิธีการ HPF (High Pass Filter) ในแต่ละพื้นที่ศึกษา

1. พื้นที่ศึกษาที่ 1 บริเวณแม่น้ำบางปะกง

ในพื้นที่ศึกษาที่ 1 เป็นการเปรียบเทียบความสามารถในการจำแนกประเภทของนาถุ และพื้นที่เพาะปลูกตัววันน้ำในพื้นที่ศึกษา ประกอบด้วย นาถุและพื้นที่เพาะปลูกตัววันน้ำที่กำลังอยู่ระหว่างการเดิยง พื้นที่ที่อยู่ระหว่างการเตรียมบ่อ และพื้นที่ที่เป็นบ่อร้าง

1.1 ภาพผลลัพธ์ที่ได้จากการลดลงภาพตั้งต้น จากดาวเทียม Landsat-5 แบบด้านล่างนี้ ที่ได้จากการลดลงดาวเทียม Landsat-7 ระบบ Panchromatic ด้วยเทคนิควิธีการต่าง ๆ พบว่าภาพที่ใช้ วิธีการ PCA (Principal Component Analysis) สามารถจำแนกประเภทของนาถุและพื้นที่เพาะปลูกตัววันน้ำในพื้นที่ศึกษาได้ง่ายที่สุด โดยมองเห็นนาถุและพื้นที่เพาะปลูกตัววันน้ำที่กำลังอยู่ระหว่าง การเดิยง เป็นสีดำ พื้นที่ที่อยู่ระหว่างการเตรียมบ่อเป็นสีขาว และพื้นที่ที่เป็นบ่อร้างเป็นสีน้ำเงินเข้ม สำหรับวิธีการแบบ Brovey Transformation และวิธีการ HSI Color Transformation สามารถ จำแนกประเภทของนาถุและพื้นที่เพาะปลูกตัววันน้ำในพื้นที่ศึกษาได้ยากรองลงมา โดยวิธีการแบบ Brovey Transformation มองเห็นนาถุและพื้นที่เพาะปลูกตัววันน้ำที่กำลังอยู่ระหว่างการเดิยง เป็นสีน้ำเงิน, น้ำเงินเข้มจนถึงดำ พื้นที่ที่อยู่ระหว่างการเตรียมบ่อเป็นสีขาว และพื้นที่ที่เป็นบ่อร้าง เป็นสีวงรอบหมุน ส่วนวิธีการแบบ HSI Color Transformation มองเห็นนาถุและพื้นที่เพาะปลูกตัววันน้ำที่กำลังอยู่ระหว่างการเดิยง เป็นสีน้ำเงินจนถึงดำ พื้นที่ที่อยู่ระหว่างการเตรียมบ่อเป็นสีขาว, ขาวอมเขียว และพื้นที่ที่เป็นบ่อร้างเป็นสีน้ำเงินอมม่วง ส่วนวิธีการแบบ HPF (High Pass Filter) ให้ผลในการจำแนกประเภทของนาถุและพื้นที่เพาะปลูกตัววันน้ำในพื้นที่ศึกษาได้ยากที่สุด โดยมองเห็นนาถุและพื้นที่เพาะปลูกตัววันน้ำที่กำลังอยู่ระหว่างการเดิยง เป็นสีน้ำเงินเข้มจนถึงดำ พื้นที่ที่อยู่ระหว่างการเตรียมบ่อและพื้นที่ที่เป็นบ่อร้างเป็นสีน้ำเงินเข้ม

1.2 ภาพผลลัพธ์ที่ได้จากการลดลงภาพตั้งต้น จากดาวเทียม Landsat-5 แบบด้านล่างนี้ ที่ได้จากการลดลงดาวเทียม IRS-1C ระบบ Panchromatic ด้วยเทคนิควิธีการต่าง ๆ พบว่าภาพที่ใช้ วิธีการแบบ PCA (Principal Component Analysis) สามารถจำแนกประเภทของนาถุและพื้นที่

เพาะปลูกตัววันน้ำในพื้นที่ศึกษาได้ยากที่สุด โดยมองเห็นนาถุและพื้นที่เพาะปลูกตัววันน้ำที่กำลัง

อยู่ระหว่างการเลี้ยง เป็นสีฟ้าเงินถึงดำ พื้นที่ที่อยู่ระหว่างการเตรียมบ่อเป็นสีขาว และพื้นที่ที่เป็นบ่อร้างเป็นสีม่วงอ่อน สำหรับวิธีการ Brovey Transformation และ HSI Color Transformation สามารถจำแนกประเภทของนากรุงและพื้นที่เพาะเลี้ยงสัตว์น้ำในพื้นที่ศึกษาได้่ายร่องลงมา โดยวิธีการ Brovey Transformation มองเห็นนากรุงและพื้นที่เพาะเลี้ยงสัตว์น้ำที่กำลังอยู่ระหว่างการเลี้ยง เป็นสีน้ำเงินจนถึงดำ พื้นที่ที่อยู่ระหว่างการเตรียมบ่อเป็นสีขาวและขาวอมชมพู และพื้นที่ที่เป็นบ่อร้างเป็นสีม่วงอมชมพู สำหรับวิธีการแบบ HSI Color Transformation มองเห็นนากรุงและพื้นที่เพาะเลี้ยงสัตว์น้ำที่กำลังอยู่ระหว่างการเลี้ยง เป็นสีน้ำเงินจนถึงดำ พื้นที่ที่อยู่ระหว่างการเตรียมบ่อเป็นสีขาวและขาวอมชมพู และพื้นที่ที่เป็นบ่อร้างเป็นสีม่วงอมชมพู ส่วนวิธีการแบบ HPF (High Pass Filter) ผลที่ได้สามารถจำแนกประเภทของนากรุงและพื้นที่เพาะเลี้ยงสัตว์น้ำในพื้นที่ศึกษาได้ยากที่สุด โดยมองเห็นนากรุงและพื้นที่เพาะเลี้ยงสัตว์น้ำที่กำลังอยู่ระหว่างการเลี้ยง เป็นสีน้ำเงิน omn ม่วงจนถึงดำ พื้นที่ที่อยู่ระหว่างการเตรียมบ่อเป็นสีม่วงอมน้ำเงินและพื้นที่ที่เป็นบ่อร้างเป็นสีม่วงอมชมพู

1.3 ภาพผลลัพธ์ที่ได้จากการหลอมภาพตั้งต้น จากดาวเทียม Landsat-5 แบบด้วยกับภาพตั้งต้นจากดาวเทียม Radarsat ระบบ SAR ด้วยเทคนิควิธีการต่าง ๆ พบว่าภาพที่ใช้วิธีการวิธีการแบบ PCA (Principal Component Analysis) สามารถจำแนกประเภทของนากรุงและพื้นที่เพาะเลี้ยงสัตว์น้ำในพื้นที่ศึกษาได้ดีที่สุด โดยมองเห็นนากรุงและพื้นที่เพาะเลี้ยงสัตว์น้ำที่กำลังอยู่ระหว่างการเลี้ยง เป็นน้ำเงินเข้มและดำ พื้นที่ที่อยู่ระหว่างการเตรียมบ่อเป็นสีขาว และพื้นที่ที่เป็นบ่อร้างเป็นสีน้ำเงิน, น้ำเงินอมม่วง สำหรับวิธีการแบบ Brovey Transformation และ HSI Color Transformation สามารถจำแนกประเภทของนากรุงและพื้นที่เพาะเลี้ยงสัตว์น้ำในพื้นที่ศึกษาได้ยาก รองลงมา โดยวิธีการแบบ Brovey Transformation มองเห็นนากรุงและพื้นที่เพาะเลี้ยงสัตว์น้ำที่กำลังอยู่ระหว่างการเลี้ยง เป็นสีดำ พื้นที่ที่อยู่ระหว่างการเตรียมบ่อเป็นสีขาว และพื้นที่ที่เป็นบ่อร้างเป็นสีม่วงอมชมพู สำหรับวิธีการแบบ HSI Color Transformation มองเห็นนากรุงและพื้นที่เพาะเลี้ยงสัตว์น้ำที่กำลังอยู่ระหว่างการเลี้ยง เป็นสีดำ พื้นที่ที่อยู่ระหว่างการเตรียมบ่อเป็นสีขาว และพื้นที่ที่เป็นบ่อร้างเป็นสีม่วงอมชมพู และพื้นที่ที่เป็นบ่อร้างเป็นสีม่วงเข้มจนถึงดำ สำหรับวิธีการแบบ HPF (High Pass Filter) ให้ผลในการจำแนกประเภทของนากรุงและพื้นที่เพาะเลี้ยงสัตว์น้ำในพื้นที่ศึกษาได้ยากที่สุด โดยมองเห็นนากรุงและพื้นที่เพาะเลี้ยงสัตว์น้ำที่กำลังอยู่ระหว่างการเลี้ยง เป็นสีม่วงอมน้ำเงินและดำ พื้นที่ที่อยู่ระหว่างการเตรียมบ่อเป็นสีขาวและขาวอมม่วง ส่วนพื้นที่ที่เป็นบ่อร้างเป็นสีดำ

1.4 ภาพผลลัพธ์ที่ได้จากการหลอมภาพตั้งต้น จากดาวเทียม Landsat-5 แบบด้วยกับภาพตั้งต้นจากดาวเทียม SPOT-5 ระบบ Panchromatic ด้วยเทคนิควิธีการต่าง ๆ พบว่าภาพที่ใช้วิธีการแบบ PCA (Principal Component Analysis) สามารถจำแนกประเภทของนากรุงและพื้นที่

เพาะเลี้ยงสัตว์น้ำในพื้นที่ศึกษาได้ง่ายที่สุด โดยมองเห็นนาดูกุ้งและพื้นที่เพาะเลี้ยงสัตว์น้ำที่กำลังอยู่ระหว่างการเลี้ยง เป็นน้ำเงินเข้มและดำ พื้นที่ที่อยู่ระหว่างการเตรียมบ่อเป็นสีขาว และพื้นที่ที่เป็นบ่อร้างเป็นสีน้ำเงินอมม่วง สำหรับวิธีการแบบ Brovey Transformation และ HSI Color Transformation สามารถจำแนกประเภทของนาดูกุ้งและพื้นที่เพาะเลี้ยงสัตว์น้ำในพื้นที่ศึกษาได้ง่าย รองลงมา โดยวิธีการ Brovey Transformation มองเห็นนาดูกุ้งและพื้นที่เพาะเลี้ยงสัตว์น้ำที่กำลังอยู่ระหว่างการเลี้ยง เป็นน้ำเงินและดำ พื้นที่ที่อยู่ระหว่างการเตรียมบ่อเป็นสีขาว ขาวอมชมพูและขาวอมน้ำเงิน ส่วนพื้นที่ที่เป็นบ่อร้างเป็นสีน้ำเงินอมม่วง วิธีการแบบ HSI Color Transformation มองเห็นนาดูกุ้งและพื้นที่เพาะเลี้ยงสัตว์น้ำที่กำลังอยู่ระหว่างการเลี้ยง เป็นสีฟ้าเข้มและดำ พื้นที่ที่อยู่ระหว่างการเตรียมบ่อเป็นสีขาว ขาวอมชมพูและขาวอมน้ำเงิน ส่วนพื้นที่ที่เป็นบ่อร้างเป็นสีน้ำเงินปนน้ำตาลอมเขียว ส่วนพื้นที่ที่เป็นบ่อร้างเป็นสีน้ำเงินเข้ม

2. พื้นที่ศึกษาที่ 2 บริเวณอ่าวจังหวัดชลบุรี

ในพื้นที่ศึกษาที่ 2 เป็นการเปรียบเทียบความสามารถในการจำแนกเครื่องมือประมงประจำที่ในพื้นที่ศึกษาอกรากข้อมูลอื่น ๆ ประกอบด้วย พื้นที่ที่เป็นพื้นน้ำทະตะล และแปลงหอย

2.1 ภาพผลลัพธ์ที่ได้จากการทดลองภาพตั้งต้น จากดาวเทียม Landsat-5 แบนด์ 4-5-3 กับภาพตั้งต้นจากดาวเทียม SPOT-5 ระบบ Panchromatic ด้วยเทคนิควิธีการต่าง ๆ พนวณภาพที่ใช้วิธีการ HPF (High Pass Filter) สามารถจำแนกเครื่องมือประมงประจำที่ที่เป็นส่วนของตัวBSITE เป็นสีต่าง ๆ ได้แก่ ม่วง ขาว น้ำเงิน และชมพู โดยที่บริเวณที่เป็นน้ำปราภูเพียงสีเดียวคือ มีสีดำ สำหรับวิธีการแบบ Brovey Transformation, HSI Color Transformation และวิธีการแบบ PCA (Principal Component Analysis) สามารถจำแนกเครื่องมือประมงประจำที่ที่ในพื้นที่ศึกษาอกรากข้อมูลอื่น ๆ ได้ค่อนข้างรองลงมา โดยวิธีการแบบ Brovey Transformation มองเห็นตัวBSITE เป็นสีต่าง ๆ ได้แก่ ม่วง เหลือง และชมพู โดยที่บริเวณที่เป็นน้ำใส มีสีเทาอมเขียว ส่วนบริเวณที่มีตะกอน น้ำจะมีสีน้ำเงิน จนถึงน้ำเงินเข้ม สำหรับวิธีการแบบ HSI Color Transformation มองเห็นตัวBSITE เป็นสีต่าง ๆ ได้แก่ ม่วง ขาว ฟ้า และชมพู โดยที่บริเวณที่เป็นน้ำใส มีสีดำและน้ำตาลอ่อนค่า ส่วนบริเวณที่มีตะกอน น้ำจะมีสีฟ้าถึงฟ้าเข้ม วิธีการแบบ PCA (Principal Component Analysis) มองเห็นตัวBSITE เป็นสีขาว และขาวปนเทา โดยที่บริเวณที่เป็นน้ำใส มีสีดำ ส่วนบริเวณที่มีตะกอน น้ำจะมีสีเทาอมม่วงและเทาอมน้ำตาล

2.2 ภาพผลลัพธ์ที่ได้จากการลดลงภาพตั้งต้น จากดาวเทียม Landsat-5 แบบค์ 4-5-3 กับภาพตั้งต้นจากดาวเทียม Radarsat ระบบ SAR ด้วยเทคนิควิธีการต่าง ๆ พนว่าภาพที่ได้ในทุกวิธีการ สามารถจำแนกเครื่องมือประมงประจำที่ในพื้นที่ศึกษาออกจากข้อมูลอื่น ๆ ได้ดีเท่า ๆ โดยสามารถแยกรายละเอียดของสีออกจากบริเวณที่เป็นพื้นน้ำได้ดี แต่ไม่สามารถสามารถแยกรายละเอียดของสีออกจากบริเวณที่เป็นแปลงหอยได้ โดยวิธีการแบบ Brovey Transformation มองเห็นเครื่องมือประมงประจำที่ ส่วนของตัวปูไซและปีกปูไซ เป็นสีฟ้าและฟ้าอมม่วง แปลงหอยได้มองเห็นเป็นสีฟ้าและฟ้าอมม่วง สำหรับบริเวณที่เป็นน้ำใส มีสีเหลืองอมเขียว ส่วนบริเวณที่มีตะกอน น้ำจะมีสีฟ้าถึงฟ้าอมคำ วิธีการแบบ HSI Color Transformation มองเห็นเครื่องมือประมงประจำที่ ส่วนของตัวปูไซและปีกปูไซ เป็นสีฟ้าและฟ้าอมม่วง แปลงหอยได้มองเห็นเป็นสีฟ้าและฟ้าอมม่วง สำหรับบริเวณที่เป็นน้ำใส มีสีคำอมเหลือง ส่วนบริเวณที่มีตะกอน น้ำจะมีสีคำอมฟ้า วิธีการแบบ PCA (Principal Component Analysis) มองเห็นเครื่องมือประมงประจำที่ ส่วนของตัวปูไซและปีกปูไซ เป็นสีเทา แปลงหอยได้มองเห็นเป็นสีเทา สำหรับบริเวณที่เป็นน้ำใส มีสีคำอมเทา ส่วนบริเวณที่มีตะกอน น้ำจะมีสีคำอมฟ้า วิธีการแบบ HPF (High Pass Filter) มองเห็นเครื่องมือประมงประจำที่ ส่วนของตัวปูไซและปีกปูไซ เป็นสีฟ้าและฟ้าอมม่วง แปลงหอยได้มองเห็นเป็นสีฟ้าและฟ้าอมม่วง สำหรับบริเวณที่มีตะกอน น้ำจะมีสีคำอมฟ้า

3. พื้นที่ศึกษาที่ 3 บริเวณอ่างเก็บน้ำบางพระ

ในพื้นที่ศึกษาที่ 3 เมื่อการเปรียบเทียบความสามารถในการจำแนกเส้นทางคมนาคม ประเภทต่าง ๆ ในพื้นที่ศึกษาออกจากข้อมูลที่เป็นแหล่งชุมชน เนื่องจากเส้นทางคมนาคมและแหล่งชุมชน จะมีความสัมพันธ์ใกล้ชิดกันมากที่สุด สีที่ปรากฏมีความใกล้เคียงกัน และพื้นที่ที่จำแนกข้อมูลเส้นทางคมนาคม ได้ยากที่สุดในพื้นที่ศึกษาคือเขตชุมชน

3.1 ภาพผลลัพธ์ที่ได้จากการลดลงภาพตั้งต้น จากดาวเทียม Landsat-5 แบบค์ 4-5-3 กับภาพตั้งต้นจากดาวเทียม Landsat-7 ระบบ Panchromatic ด้วยเทคนิควิธีการต่าง ๆ พนว่า ภาพที่ใช้วิธีการแบบ HSI Color Transformation สามารถจำแนกข้อมูลเส้นทางคมนาคมในพื้นที่ศึกษาได้ง่ายที่สุด โดยมองเห็นสีของเส้นทางคมนาคมสายหลักเป็นสีม่วงเข้ม สายรองเป็นสีม่วง และถนนพื้นอ่อนมีสีขาวอมชมพู พื้นที่เขตชุมชนมีสีขาวอมชมพูสลับม่วง สำหรับวิธีการแบบ Brovey Transformation และ PCA (Principal Component Analysis) สามารถจำแนกข้อมูลเส้นทางคมนาคมในพื้นที่ศึกษา ได้ง่ายรองลงมา โดยวิธีการแบบ Brovey Transformation มองเห็นสีของเส้นทางคมนาคมสายหลักเป็นสีม่วงอมน้ำเงิน สายรองเป็นสีม่วง และถนนพื้นอ่อนมีสีขาวอมชมพู พื้นที่เขตชุมชนมีสีขาวอมน้ำเงินสลับม่วง วิธีการแบบ PCA (Principal Component Analysis) มองเห็น

สีของเส้นทางคุณภาพสายหลักเป็นสีม่วง สายรองเป็นสีม่วงเทา และถนนพื้นอ่อนมีสีขาว พื้นที่เขตชุมชนมีสีขาวอมน้ำเงินสลับม่วง สำหรับวิธีการแบบ HPF (High Pass Filter) จำแนกข้อมูลเส้นทางคุณภาพในพื้นที่ศึกษาได้ยากที่สุด โดยมองเห็นสีของเส้นทางคุณภาพสายหลักเป็นสีม่วง ขอบขาวโดยมองเห็นเพียงบางส่วน ส่วนสายรอง และถนนพื้นอ่อนจำแนกได้ยาก พื้นที่เขตชุมชนมีสีขาวสลับม่วง

3.2 ภาพผลลัพธ์ที่ได้จากการหลอมภาพตั้งต้น จากดาวเทียม Landsat-5 แบนด์ 4-5-3 กับภาพตั้งต้นจากดาวเทียม IRS-1C ระบบ Panchromatic ด้วยเทคนิควิธีการต่าง ๆ พบว่า ภาพที่ใช้วิธีการแบบ Brovey Transformation และ HSI Color Transformation สามารถจำแนกข้อมูลเส้นทางคุณภาพในพื้นที่ศึกษา ได้ง่ายที่สุด โดยวิธีการแบบ Brovey Transformation มองเห็นสีของเส้นทางคุณภาพสายหลักเป็นสีม่วง สายรองเป็นสีม่วงและม่วงอมชมพู และถนนพื้นอ่อนมีสีขาวและขาวอมชมพู พื้นที่เขตชุมชนมีสีขาวสลับม่วงและเขียว วิธีการแบบ HSI Color Transformation มองเห็นสีของเส้นทางคุณภาพสายหลักเป็นสีม่วง สายรองเป็นสีม่วง และถนนพื้นอ่อนมีสีขาวอมชมพู พื้นที่เขตชุมชนมีสีขาวสลับม่วงและเขียว วิธีการแบบ PCA (Principal Component Analysis) สามารถจำแนกข้อมูลเส้นทางคุณภาพในพื้นที่ศึกษา ได้ง่ายรองลงมา โดยมองเห็นสีของเส้นทางคุณภาพสายหลักเป็นสีม่วง สายรองเป็นสีเทาอมม่วง และถนนพื้นอ่อนมีสีขาว พื้นที่เขตชุมชน มีสีขาวสลับม่วงและเขียว สำหรับวิธีการแบบ HPF (High Pass Filter) จำแนกข้อมูลเส้นทางคุณภาพในพื้นที่ศึกษาได้ยากที่สุด โดยมองเห็นสีของเส้นทางคุณภาพสายหลักเป็นสีม่วงเข้ม ขอบขาว ส่วนสายรองมีสีม่วง ถนนพื้นอ่อนมีสีขาว และพื้นที่เขตชุมชนมีสีขาวสลับม่วงและเขียว

3.3 ภาพผลลัพธ์ที่ได้จากการหลอมภาพตั้งต้น จากดาวเทียม Landsat-5 แบนด์ 4-5-3 กับภาพตั้งต้นจากดาวเทียม SPOT-5 ระบบ Panchromatic ด้วยเทคนิควิธีการต่าง ๆ พบว่า ภาพที่ใช้วิธีการแบบ Brovey Transformation, PCA (Principal Component Analysis) และ HSI Color Transformation สามารถจำแนกข้อมูลเส้นทางคุณภาพในพื้นที่ศึกษา ได้ง่ายที่สุด โดยวิธีการแบบ Brovey Transformation มองเห็นสีของเส้นทางคุณภาพสายหลักเป็นสีม่วง สายรองเป็นสีม่วง อมชมพู และถนนพื้นอ่อนมีสีขาว พื้นที่เขตชุมชนมีสีขาวสลับม่วงและเขียว วิธีการแบบ HSI Color Transformation มองเห็นสีของเส้นทางคุณภาพสายหลักเป็นสีม่วง สายรองเป็นสีม่วงอมชมพู และถนนพื้นอ่อนมีสีขาว พื้นที่เขตชุมชนมีสีขาวสลับม่วงและเขียว วิธีการแบบ PCA (Principal Component Analysis) มองเห็นสีของเส้นทางคุณภาพสายหลักเป็นสีม่วง สายรองเป็นสีม่วง อมชมพู และถนนพื้นอ่อนมีสีขาว พื้นที่เขตชุมชนมีสีขาวสลับม่วงและเขียว สำหรับวิธีการแบบ HPF (High Pass Filter) จำแนกข้อมูลเส้นทางคุณภาพในพื้นที่ศึกษาได้ยากที่สุด โดยมองเห็นสีของเส้นทางคุณภาพสายหลักเป็นสีม่วง ส่วนสายรองมีสีม่วงอมชมพู ถนนพื้นอ่อนมีสีขาว และพื้นที่เขตชุมชนมีสีขาวสลับม่วงและเขียว

การเปรียบเทียบคุณสมบัติทางเรขาคณิต ของภาพที่ได้จากการหลอมข้อมูล

ผลที่ได้จากการจำแนกรายละเอียดทางเรขาคณิต โดยการนำเข้าข้อมูลบนหน้าจอ ของ ข้อมูลตึ้งตันที่นำมาใช้ในการหลอมข้อมูลคือข้อมูลภาพจากดาวเทียมรายละเอียดสูง ได้แก่ ดาวเทียม Landsat-7 (Panchromatic) ดาวเทียม IRS-1C (Panchromatic) ดาวเทียม Radarsat (SAR) ดาวเทียม SPOT-5 (Panchromatic) เปรียบเทียบกับผลการจำแนกรายละเอียดทางเรขาคณิต โดยการนำเข้า ข้อมูลบนหน้าจอในภาพผลลัพธ์ ที่ได้จากการหลอมโดยใช้เทคนิควิธีการแบบต่างๆ ได้แก่ วิธีการ Brovey Transformation วิธีการ HSI Color Transformation วิธีการ PCA (Principal Component Analysis) และวิธีการ HPF (High Pass Filter) ในแต่ละพื้นที่ศึกษา สรุปได้ดังนี้

ในการคำนวณหาเบอร์เซนต์การเพิ่มขึ้นหรือลดลง ของปริมาณข้อมูลผลลัพธ์ที่ได้จากการนำเข้าข้อมูลบนหน้าจอของข้อมูลภาพแต่ละภาพเพื่อการนำไปเปรียบเทียบผล ใช้สูตรดังนี้

$$\left[\frac{\text{ปริมาณข้อมูลที่ได้จากการหลอม} \times 100}{\text{ปริมาณข้อมูลที่ได้จากการรายละเอียดสูงตึ้งตัน}} \right] - 100$$

หมายเหตุ หากผลที่ได้ติดลบหมายถึงข้อมูลที่ได้ลดลง

หากผลที่ได้ไม่ติดลบแต่มากกว่า 0 หมายถึงข้อมูลที่ได้เพิ่มขึ้น

1. พื้นที่ศึกษาที่ 1 บริเวณแม่น้ำบางปะกง

ข้อมูลดาวเทียม Landsat-7 (Panchromatic) ให้ผลลัพธ์เป็นพื้นที่นาถุ่งและพื้นที่เพาะปลูก สัตว์น้ำจำนวน 542 บ่อ หรือพื้นที่ประมาณ 3.82 ตารางกิโลเมตร เมื่อนำภาพมาทำการหลอมกับ ข้อมูลดาวเทียม Landsat-5 (RGB: 453) โดยวิธีการแบบ Brovey Transformation ให้ผลลัพธ์เป็น พื้นที่นาถุ่งและพื้นที่เพาะปลูกสัตว์น้ำจำนวน 449 บ่อ (ลดลง 17.16 เบอร์เซนต์) กิดเป็นพื้นที่ ประมาณ 3.57 ตารางกิโลเมตร (ลดลง 6.54 เบอร์เซนต์) วิธีการแบบ PCA (Principal Component Analysis) ให้ผลลัพธ์เป็นพื้นที่นาถุ่งและพื้นที่เพาะปลูกสัตว์น้ำจำนวน 628 บ่อ (เพิ่มขึ้น 15.87 เบอร์เซนต์) กิดเป็นพื้นที่ประมาณ 2.77 ตารางกิโลเมตร (ลดลง 27.49 เบอร์เซนต์) วิธีการแบบ HSI Color Transformation ให้ผลลัพธ์เป็นพื้นที่นาถุ่งและพื้นที่เพาะปลูกสัตว์น้ำจำนวน 535 บ่อ (ลดลง 1.29 เบอร์เซนต์) กิดเป็นพื้นที่ประมาณ 2.89 ตารางกิโลเมตร (ลดลง 24.35 เบอร์เซนต์) วิธีการแบบ HPF (High Pass Filter) ให้ผลลัพธ์เป็นพื้นที่นาถุ่งและพื้นที่เพาะปลูกสัตว์น้ำจำนวน 166 บ่อ (ลดลง 69.37 เบอร์เซนต์) กิดเป็นพื้นที่ประมาณ 2.73 ตารางกิโลเมตร (ลดลง 28.53 เบอร์เซนต์) ในกลุ่มนี้พบว่า ภาพผลลัพธ์ที่ได้จากการหลอมโดยใช้เทคนิควิธีการแบบ PCA (Principal Component Analysis) ให้รายละเอียดเชิงเรขาคณิตสูงที่สุด

ข้อมูลดาวเทียม IRS-1C (Panchromatic) ให้ผลลัพธ์เป็นพื้นที่นาถุ่งและพื้นที่เพาะปลูก สัตว์น้ำจำนวน 862 บ่อ หรือพื้นที่ประมาณ 3.06 ตารางกิโลเมตร เมื่อนำภาพมาทำการหลอมกับข้อมูลดาวเทียม Landsat-5 (RGB: 453) โดยวิธีการแบบ Brovey Transformation ให้ผลลัพธ์เป็นพื้นที่นาถุ่งและพื้นที่เพาะปลูกสัตว์น้ำจำนวน 1,170 บ่อ (เพิ่มขึ้น 35.73 เปอร์เซนต์) คิดเป็นพื้นที่ประมาณ 5.73 ตารางกิโลเมตร (เพิ่มขึ้น 87.25 เปอร์เซนต์) วิธีการแบบ PCA (Principal Component Analysis) ให้ผลลัพธ์เป็นพื้นที่นาถุ่งและพื้นที่เพาะปลูกสัตว์น้ำจำนวน 1,191 บ่อ (เพิ่มขึ้น 38.17 เปอร์เซนต์) คิดเป็นพื้นที่ประมาณ 7.17 ตารางกิโลเมตร (เพิ่มขึ้น 134.31 เปอร์เซนต์) วิธีการแบบ HSI Color Transformation ให้ผลลัพธ์เป็นพื้นที่นาถุ่งและพื้นที่เพาะปลูกสัตว์น้ำจำนวน 847 บ่อ (ลดลง 1.74 เปอร์เซนต์) คิดเป็นพื้นที่ประมาณ 4.20 ตารางกิโลเมตร (เพิ่มขึ้น 37.25 เปอร์เซนต์) วิธีการแบบ HPF (High Pass Filter) ให้ผลลัพธ์เป็นพื้นที่นาถุ่งและพื้นที่เพาะปลูกสัตว์น้ำจำนวน 1,091 บ่อ (เพิ่มขึ้น 26.57 เปอร์เซนต์) คิดเป็นพื้นที่ประมาณ 4.75 ตารางกิโลเมตร (เพิ่มขึ้น 55.23 เปอร์เซนต์) ในกลุ่มนี้พบว่า ภาพผลลัพธ์ที่ได้จากการหลอมโดยใช้เทคนิควิธีการแบบ PCA (Principal Component Analysis) ให้รายละเอียดเชิงเรขาคณิตสูงที่สุด

ข้อมูลดาวเทียม Radarsat (SAR) ให้ผลลัพธ์เป็นพื้นที่นาถุ่งและพื้นที่เพาะปลูกสัตว์น้ำจำนวน 713 บ่อ หรือพื้นที่ประมาณ 2.60 ตารางกิโลเมตร เมื่อนำภาพมาทำการหลอมกับข้อมูลดาวเทียม Landsat-5 (RGB: 453) โดยวิธีการแบบ Brovey Transformation ให้ผลลัพธ์เป็นพื้นที่นาถุ่งและพื้นที่เพาะปลูกสัตว์น้ำจำนวน 423 บ่อ (ลดลง 40.67 เปอร์เซนต์) คิดเป็นพื้นที่ประมาณ 2.60 ตารางกิโลเมตร วิธีการแบบ PCA (Principal Component Analysis) ให้ผลลัพธ์เป็นพื้นที่นาถุ่ง และพื้นที่เพาะปลูกสัตว์น้ำจำนวน 491 บ่อ (ลดลง 31.14 เปอร์เซนต์) คิดเป็นพื้นที่ประมาณ 2.67 ตารางกิโลเมตร (เพิ่มขึ้น 2.69 เปอร์เซนต์) วิธีการแบบ HSI Color Transformation ให้ผลลัพธ์เป็นพื้นที่นาถุ่งและพื้นที่เพาะปลูกสัตว์น้ำจำนวน 399 บ่อ (ลดลง 44.04 เปอร์เซนต์) คิดเป็นพื้นที่ประมาณ 2.59 ตารางกิโลเมตร (ลดลง 0.38 เปอร์เซนต์) วิธีการแบบ HPF (High Pass Filter) ให้ผลลัพธ์เป็นพื้นที่นาถุ่งและพื้นที่เพาะปลูกสัตว์น้ำจำนวน 244 บ่อ (ลดลง 65.78 เปอร์เซนต์) คิดเป็นพื้นที่ประมาณ 1.60 ตารางกิโลเมตร (ลดลง 38.46 เปอร์เซนต์) ในกลุ่มนี้พบว่า ภาพผลลัพธ์ที่ได้จากการหลอมทุกเทคนิควิธีการ ให้รายละเอียดข้อมูลต่ำกว่าข้อมูลตั้งต้น

ข้อมูลดาวเทียม SPOT-5 (Panchromatic) ให้ผลลัพธ์เป็นพื้นที่นาถุ่งและพื้นที่เพาะปลูก สัตว์น้ำจำนวน 1,082 บ่อ หรือพื้นที่ประมาณ 6.36 ตารางกิโลเมตร เมื่อนำภาพมาทำการหลอมกับข้อมูลดาวเทียม Landsat-5 (RGB: 453) โดยวิธีการแบบ Brovey Transformation ให้ผลลัพธ์เป็นพื้นที่นาถุ่งและพื้นที่เพาะปลูกสัตว์น้ำจำนวน 755 บ่อ (ลดลง 30.22 เปอร์เซนต์) คิดเป็นพื้นที่ประมาณ 4.94 ตารางกิโลเมตร (ลดลง 22.33 เปอร์เซนต์) วิธีการแบบ PCA (Principal Component

Analysis) ให้ผลลัพธ์เป็นพื้นที่นาถุ่งและพื้นที่เพาะเลี้ยงสัตว์จำนวน 1,392 บ่อ (เพิ่มขึ้น 28.65 เปอร์เซนต์) คิดเป็นพื้นที่ประมาณ 8.48 ตารางกิโลเมตร (เพิ่มขึ้น 33.33 เปอร์เซนต์) วิธีการแบบ HSI Color Transformation ให้ผลลัพธ์เป็นพื้นที่นาถุ่งและพื้นที่เพาะเลี้ยงสัตว์จำนวน 1,312 บ่อ (เพิ่มขึ้น 21.26 เปอร์เซนต์) คิดเป็นพื้นที่ประมาณ 7.10 ตารางกิโลเมตร (เพิ่มขึ้น 11.64 เปอร์เซนต์) วิธีการแบบ HPF (High Pass Filter) ให้ผลลัพธ์เป็นพื้นที่นาถุ่งและพื้นที่เพาะเลี้ยงสัตว์จำนวน 1,601 บ่อ (เพิ่มขึ้น 47.97 เปอร์เซนต์) คิดเป็นพื้นที่ประมาณ 10.42 ตารางกิโลเมตร (เพิ่มขึ้น 63.84 เปอร์เซนต์) ในกลุ่มนี้พบว่า ภาพผลลัพธ์ที่ได้จากการหลอมโดยใช้เทคนิควิธีการแบบ HPF (High Pass Filter) ให้รายละเอียดเชิงเรขาคณิตสูงที่สุด

2. พื้นที่ศึกษาที่ 2 บริเวณอ่าวจังหวัดชลบุรี

ข้อมูลดาวเทียม Radarsat (SAR) ให้ผลลัพธ์เป็นตัวโป๊ะ จำนวน 53 ถูก โดยนับจำนวนของปีกโป๊ะ ได้รวม 186 แผน เมื่อนำภาพมาทำการหลอมกับข้อมูลดาวเทียม Landsat-5 (RGB: 453) โดยวิธีการแบบ Brovey Transformation ให้ผลลัพธ์เป็นตัวโป๊ะ จำนวน 47 ถูก (ลดลง 11.32 เปอร์เซนต์) โดยนับจำนวนของปีกโป๊ะ ได้รวม 173 แผน (ลดลง 6.99 เปอร์เซนต์) วิธีการแบบ PCA (Principal Component Analysis) ให้ผลลัพธ์เป็นตัวโป๊ะ จำนวน 47 ถูก (ลดลง 11.32 เปอร์เซนต์) โดยนับจำนวนของปีกโป๊ะ ได้รวม 172 แผน (ลดลง 7.53 เปอร์เซนต์) วิธีการแบบ HSI Color Transformation ให้ผลลัพธ์เป็นตัวโป๊ะ จำนวน 47 ถูก (ลดลง 11.32 เปอร์เซนต์) โดยนับจำนวนของปีกโป๊ะ ได้รวม 173 แผน (ลดลง 6.99 เปอร์เซนต์) วิธีการแบบ HPF (High Pass Filter) ให้ผลลัพธ์ เป็นตัวโป๊ะ จำนวน 44 ถูก (ลดลง 16.98 เปอร์เซนต์) โดยนับจำนวนของปีกโป๊ะ ได้รวม 155 แผน (ลดลง 16.67 เปอร์เซนต์) ในกลุ่มนี้พบว่า ภาพผลลัพธ์ที่ได้จากการหลอมโดยใช้เทคนิควิธีการแบบ HPF (High Pass Filter) ให้รายละเอียดเชิงเรขาคณิตสูงที่สุด

ข้อมูลดาวเทียม SPOT-5 (Panchromatic) ให้ผลลัพธ์เป็นตัวโป๊ะ จำนวน 32 ถูก โดยมอง ไม่เห็นปีกโป๊ะ เมื่อนำภาพมาทำการหลอมกับข้อมูลดาวเทียม Landsat-5 (RGB: 453) โดยวิธีการแบบ Brovey Transformation ให้ผลลัพธ์เป็นตัวโป๊ะ จำนวน 30 ถูก (ลดลง 6.25 เปอร์เซนต์) โดยมอง ไม่เห็นปีกโป๊ะ วิธีการแบบ PCA (Principal Component Analysis) ให้ผลลัพธ์เป็นตัวโป๊ะ จำนวน 34 ถูก (เพิ่มขึ้น 6.25 เปอร์เซนต์) โดยมอง ไม่เห็นปีกโป๊ะ วิธีการแบบ HSI Color Transformation ให้ผลลัพธ์เป็นตัวโป๊ะ จำนวน 30 ถูก (ลดลง 6.25 เปอร์เซนต์) โดยมอง ไม่เห็นปีกโป๊ะ วิธีการแบบ HPF (High Pass Filter) ให้ผลลัพธ์เป็นตัวโป๊ะ จำนวน 36 ถูก (เพิ่มขึ้น 12.50 เปอร์เซนต์) โดยมอง ไม่เห็นปีกโป๊ะ ในกลุ่มนี้พบว่า ภาพผลลัพธ์ที่ได้จากการหลอมโดยใช้เทคนิค วิธีการแบบ Brovey Transformation, PCA (Principal Component Analysis) และ HSI Color Transformation ให้รายละเอียดเชิงเรขาคณิตสูงที่สุด ใกล้เคียงกัน

3. พื้นที่ศึกษาที่ 3 บริเวณอ่างเก็บน้ำบางพระ

ข้อมูลดาวเทียม Landsat-7 (Panchromatic) ให้ผลลัพธ์เป็นความยาวของเส้นทางคุณภาพในพื้นที่ศึกษาร่วมทั้งสิ้น 123.13 กิโลเมตร เมื่อนำภาพมาทำการทดลองกับข้อมูลดาวเทียม Landsat-5 (RGB: 453) โดยวิธีการแบบ Brovey Transformation ให้ผลลัพธ์เป็นความยาวของเส้นทางคุณภาพในพื้นที่ศึกษาร่วมทั้งสิ้น 147.64 กิโลเมตร (เพิ่มขึ้น 19.91 เปอร์เซนต์) วิธีการแบบ PCA (Principal Component Analysis) ให้ผลลัพธ์เป็นเป็นความยาวของเส้นทางคุณภาพในพื้นที่ศึกษาร่วมทั้งสิ้น 152.24 กิโลเมตร (เพิ่มขึ้น 23.64 เปอร์เซนต์) วิธีการแบบ HSI Color Transformation ให้ผลลัพธ์เป็นความยาวของเส้นทางคุณภาพในพื้นที่ศึกษาร่วมทั้งสิ้น 153.14 กิโลเมตร (เพิ่มขึ้น 24.37 เปอร์เซนต์) วิธีการแบบ HPF (High Pass Filter) ให้ผลลัพธ์เป็นความยาวของเส้นทางคุณภาพในพื้นที่ศึกษาร่วมทั้งสิ้น 80 กิโลเมตร (ลดลง 35.03 เปอร์เซนต์) ในกลุ่มนี้พบว่า ภาพผลลัพธ์ที่ได้จากการทดลองโดยใช้เทคนิควิธีการแบบ HSI Color Transformation ให้รายละเอียดเชิงเรขาคณิตสูงที่สุด

ข้อมูลดาวเทียม IRS-1C (Panchromatic) ให้ผลลัพธ์เป็นความยาวของเส้นทางคุณภาพในพื้นที่ศึกษาร่วมทั้งสิ้น 322.26 กิโลเมตร เมื่อนำภาพมาทำการทดลองกับข้อมูลดาวเทียม Landsat-5 (RGB: 453) โดยวิธีการแบบ Brovey Transformation ให้ผลลัพธ์เป็นความยาวของเส้นทางคุณภาพในพื้นที่ศึกษาร่วมทั้งสิ้น 360.86 กิโลเมตร (เพิ่มขึ้น 11.98 เปอร์เซนต์) วิธีการแบบ PCA (Principal Component Analysis) ให้ผลลัพธ์เป็นความยาวของเส้นทางคุณภาพในพื้นที่ศึกษาร่วมทั้งสิ้น 377.92 กิโลเมตร (เพิ่มขึ้น 17.27 เปอร์เซนต์) วิธีการแบบ HSI Color Transformation ให้ผลลัพธ์เป็นความยาวของเส้นทางคุณภาพในพื้นที่ศึกษาร่วมทั้งสิ้น 286.19 กิโลเมตร (ลดลง 11.19 เปอร์เซนต์) วิธีการแบบ HPF (High Pass Filter) ให้ผลลัพธ์เป็นความยาวของเส้นทางคุณภาพในพื้นที่ศึกษาร่วมทั้งสิ้น 211.81 กิโลเมตร (ลดลง 34.27 เปอร์เซนต์) ในกลุ่มนี้พบว่า ภาพผลลัพธ์ที่ได้จากการทดลองโดยใช้เทคนิควิธีการแบบ PCA (Principal Component Analysis) ให้รายละเอียดเชิงเรขาคณิตสูงที่สุด

ข้อมูลดาวเทียม SPOT-5 (Panchromatic) ให้ผลลัพธ์เป็นความยาวของเส้นทางคุณภาพในพื้นที่ศึกษาร่วมทั้งสิ้น 643.72 กิโลเมตร เมื่อนำภาพมาทำการทดลองกับข้อมูลดาวเทียม Landsat-5 (RGB:453) โดยวิธีการแบบ Brovey Transformation ให้ผลลัพธ์เป็นความยาวของเส้นทางคุณภาพในพื้นที่ศึกษาร่วมทั้งสิ้น 775.20 กิโลเมตร (เพิ่มขึ้น 20.43 เปอร์เซนต์) วิธีการแบบ PCA (Principal Component Analysis) ให้ผลลัพธ์เป็นเป็นความยาวของเส้นทางคุณภาพในพื้นที่ศึกษาร่วมทั้งสิ้น 1,002.13 กิโลเมตร (เพิ่มขึ้น 55.68 เปอร์เซนต์) วิธีการแบบ HSI Color Transformation ให้ผลลัพธ์เป็นความยาวของเส้นทางคุณภาพในพื้นที่ศึกษาร่วมทั้งสิ้น 1,000.88 กิโลเมตร (ลดลง 55.48

เปอร์เซนต์) วิธีการแบบ HPF (High Pass Filter) ให้ผลลัพธ์เป็นความขาวของเส้นทางคมนาคมในพื้นที่ศึกษาร่วมทั้งสิ้น 685.76 กิโลเมตร (ลดลง 6.53 เปอร์เซนต์) ในกลุ่มนี้พบว่า ภาพผลลัพธ์ที่ได้จากการหลอมโดยใช้เทคนิควิธีการแบบ PCA (Principal Component Analysis) ให้รายละเอียดเชิงเรขาคณิตสูงที่สุด

สำหรับผลการเปรียบเทียบคุณสมบัติทางเรขาคณิตและคุณสมบัติเชิงคุณภาพ ผลลัพธ์ที่ได้จากการหลอมข้อมูลดาวเทียม ทุกพื้นที่ และทุกวิธีการ สรุปในตารางที่ 5-1 ถึง 5-9

ตารางที่ 4-2 แสดงการเปรียบเทียบคุณสมบัติทางเรขาคณิตและคุณสมบัติเชิงคุณภาพ ของภาพผลลัพธ์ ที่ได้จากการหลอมข้อมูลดาวเทียม Landsat-5 (RGB: 453) กับข้อมูลดาวเทียม Landsat-7 ระบบ Panchromatic ในพื้นที่ศึกษาที่ 1 บริเวณแม่น้ำบางปะกง

วิธีการหลอม	Brovey	PCA	HSI	HPF
คุณสมบัติทางเรขาคณิต	ปานกลาง	ปานกลาง	ปานกลาง	ปานกลาง
คุณสมบัติเชิงคุณภาพ	ปานกลาง	ดี	ปานกลาง	น้อย

ตารางที่ 4-3 แสดงการเปรียบเทียบคุณสมบัติทางเรขาคณิตและคุณสมบัติเชิงคุณภาพ ของภาพผลลัพธ์ ที่ได้จากการหลอมข้อมูลดาวเทียม Landsat-5 (RGB: 453) กับข้อมูลดาวเทียม IRS-1C ระบบ Panchromatic ในพื้นที่ศึกษาที่ 1 บริเวณแม่น้ำบางปะกง

วิธีการหลอม	Brovey	PCA	HSI	HPF
คุณสมบัติทางเรขาคณิต	ดี	ดี	ดี	ดี
คุณสมบัติเชิงคุณภาพ	ปานกลาง	ดี	ปานกลาง	น้อย

ตารางที่ 4-4 แสดงการเปรียบเทียบคุณสมบัติทางเรขาคณิตและคุณสมบัติเชิงคุณภาพ ของภาพผลลัพธ์ ที่ได้จากการหลอมข้อมูลดาวเทียม Landsat-5 (RGB: 453) กับข้อมูลดาวเทียม Radarsat ระบบ SAR ในพื้นที่ศึกษาที่ 1 บริเวณแม่น้ำบางปะกง

วิธีการหลอม	Brovey	PCA	HSI	HPF
คุณสมบัติทางเรขาคณิต	ปานกลาง	ปานกลาง	ปานกลาง	น้อย
คุณสมบัติเชิงคุณภาพ	ปานกลาง	ดี	ปานกลาง	น้อย

ตารางที่ 4-5 แสดงการเปรียบเทียบคุณสมบัติทางเรขาคณิตและคุณสมบัติเชิงคลื่น ของภาพผลลัพธ์ที่ได้จากการหลอมข้อมูลดาวเทียม Landsat-5 (RGB: 453) กับข้อมูลดาวเทียม SPOT-5 ระบบ Panchromatic ในพื้นที่ศึกษาที่ 1 บริเวณแม่น้ำบางปะกง

วิธีการหลอม	Brovey	PCA	HSI	HPF
คุณสมบัติทางเรขาคณิต	ดี	ดี	ดี	ดี
คุณสมบัติเชิงคลื่น	ปานกลาง	ดี	ปานกลาง	น้อย

ตารางที่ 4-6 แสดงการเปรียบเทียบคุณสมบัติทางเรขาคณิตและคุณสมบัติเชิงคลื่น ของภาพผลลัพธ์ที่ได้จากการหลอมข้อมูลดาวเทียม Landsat-5 (RGB: 453) กับข้อมูลดาวเทียม Radarsat ระบบ SAR ในพื้นที่ศึกษาที่ 2 บริเวณอ่าวจังหวัดชลบุรี

วิธีการหลอม	Brovey	PCA	HSI	HPF
คุณสมบัติทางเรขาคณิต	ดี	ดี	ดี	ดี
คุณสมบัติเชิงคลื่น	ปานกลาง	ปานกลาง	ปานกลาง	ปานกลาง

ตารางที่ 4-7 แสดงการเปรียบเทียบคุณสมบัติทางเรขาคณิตและคุณสมบัติเชิงคลื่น ของภาพผลลัพธ์ที่ได้จากการหลอมข้อมูลดาวเทียม Landsat-5 (RGB: 453) กับข้อมูลดาวเทียม SPOT-5 ระบบ Panchromatic ในพื้นที่ศึกษาที่ 2 บริเวณอ่าวจังหวัดชลบุรี

วิธีการหลอม	Brovey	PCA	HSI	HPF
คุณสมบัติทางเรขาคณิต	ปานกลาง	ปานกลาง	ปานกลาง	ปานกลาง
คุณสมบัติเชิงคลื่น	ปานกลาง	ปานกลาง	ปานกลาง	ดี

ตารางที่ 4-8 แสดงการเปรียบเทียบคุณสมบัติทางเรขาคณิตและคุณสมบัติเชิงคลื่น ของภาพผลลัพธ์ที่ได้จากการหลอมข้อมูลดาวเทียม Landsat-5 (RGB: 453) กับข้อมูลดาวเทียม Landsat-7 ระบบ Panchromatic ในพื้นที่ศึกษาที่ 3 บริเวณอ่างเก็บน้ำบางพระ

วิธีการหลอม	Brovey	PCA	HSI	HPF
คุณสมบัติทางเรขาคณิต	น้อย	น้อย	น้อย	น้อย
คุณสมบัติเชิงคลื่น	ปานกลาง	ปานกลาง	ดี	น้อย

ตารางที่ 4-9 แสดงการเปรียบเทียบคุณสมบัติทางเรขาคณิตและคุณสมบัติเชิงคลื่น ของภาพผลลัพธ์ที่ได้จากการหลอมข้อมูลดาวเทียม Landsat-5 (RGB: 453) กับข้อมูลดาวเทียม IRS-1C ระบบ Panchromatic ในพื้นที่ศึกษาที่ 3 บริเวณอ่างเก็บน้ำบางพระ

วิธีการหลอม	Brovey	PCA	HSI	HPF
คุณสมบัติทางเรขาคณิต	ปานกลาง	ปานกลาง	ปานกลาง	ปานกลาง
คุณสมบัติเชิงคลื่น	ดี	ปานกลาง	ดี	น้อย

ตารางที่ 4-10 แสดงการเปรียบเทียบคุณสมบัติทางเรขาคณิตและคุณสมบัติเชิงคลื่น ของภาพผลลัพธ์ที่ได้จากการหลอมข้อมูลดาวเทียม Landsat-5 (RGB: 453) กับข้อมูลดาวเทียม SPOT-5 ระบบ Panchromatic ในพื้นที่ศึกษาที่ 3 บริเวณอ่างเก็บน้ำบางพระ

วิธีการหลอม	Brovey	PCA	HSI	HPF
คุณสมบัติทางเรขาคณิต	ดี	ดี	ดี	ปานกลาง
คุณสมบัติเชิงคลื่น	ดี	ดี	ดี	น้อย